



บทที่ 3

ผลการทดลอง

3.1 ผลของสารสกัดอัลลีซินต่อการหดตัวของมดลูกหนูแรท

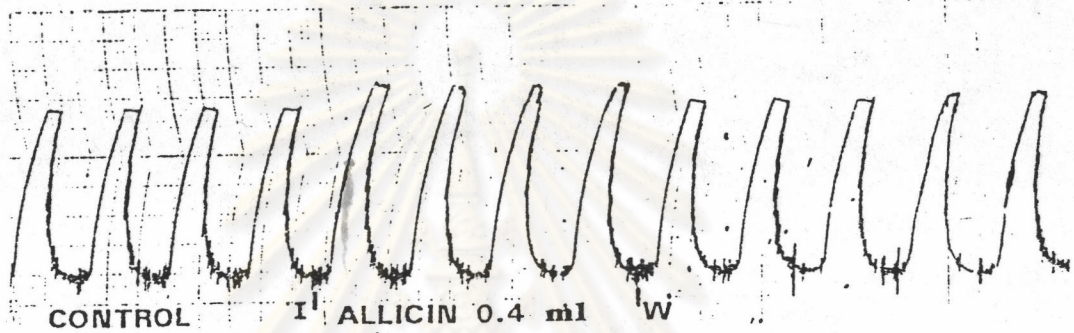
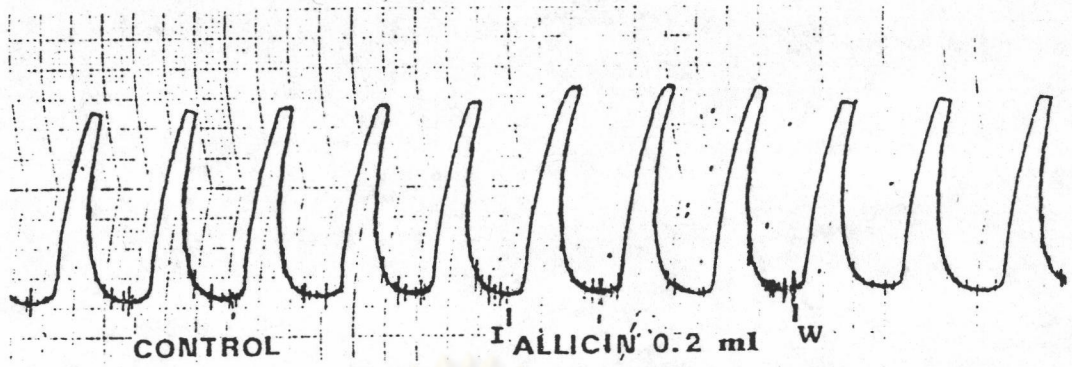
ผลของการให้สารสกัดอัลลีซิน ความเข้มข้น 3.5 mg/ml ปริมาณ 0.2-1.6 ml พบว่าสารสกัดอัลลีซินเพิ่มการหดตัวของมดลูกหนูแรท การหดตัวจะสูงขึ้นตามปริมาณสารสกัดอัลลีซินที่เพิ่มขึ้น โดยปริมาณสารสกัดอัลลีซิน 0.2 ml ให้ผลเพิ่มการหดตัวของมดลูกอย่างไม่มีนัยสำคัญทางสถิติ แต่ปริมาณสารสกัดอัลลีซิน 0.4-1.6 ml ให้ผลเพิ่มการหดตัวได้ อย่างมีนัยสำคัญทางสถิติ ($P < 0.01$) ส่วนอัตรา จังหวะ และรูปลักษณ์ ของการหดตัวไม่มีการเปลี่ยนแปลง ดังแสดงในรูปที่ 3, 4 และ 5

3.2 ผลของสารสกัดอัลลีซินต่อ muscarinic receptor ของมดลูกหนูแรทโดยใช้ atropine

ผลของสารสกัดอัลลีซิน ความเข้มข้น 3.5 mg/ml ปริมาณ 0.2-1.6 ml หลังจากให้ atropine ความเข้มข้น 10^{-4} M ปริมาณ 0.2 ml พบว่า atropine ไม่สามารถยับยั้งการหดตัวของมดลูกที่เกิดจากสารสกัดอัลลีซินได้ ดังนั้นผลของสารสกัดอัลลีซินต่อการหดตัวของมดลูกหลังจากให้ atropine แล้ว ยังสามารถเพิ่มการหดตัวของมดลูกได้ อย่างมีนัยสำคัญทางสถิติ (0.2 ml NS, 0.4-1.6 ml, $P < 0.01$) ส่วนอัตรา จังหวะ และรูปลักษณ์ ของการหดตัวไม่มีการเปลี่ยนแปลง ดังแสดงในรูปที่ 6, 7, 8, 9 และ 10

3.3 ผลการหดตัวของมดลูกหนูแรท โดย acetylcholine หลังจากให้ atropine

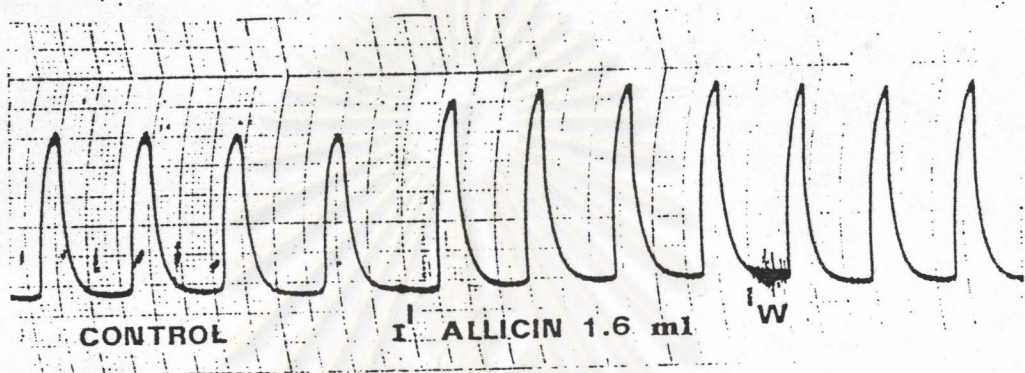
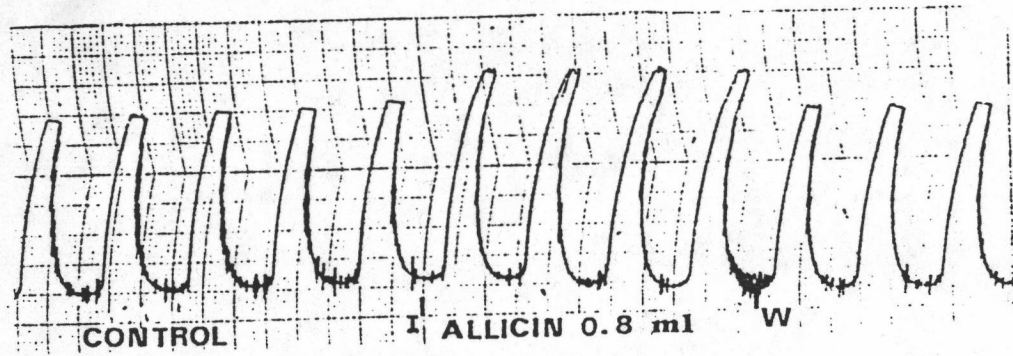
ผลของการให้ acetylcholine พบว่า acetylcholine มีฤทธิ์ทำให้การหดตัวของมดลูกเพิ่มขึ้น และเพิ่มขึ้นเป็นสัดส่วนโดยตรงกับความเข้มข้นของ acetylcholine พบว่าความเข้มข้นของ acetylcholine 10^{-4} M ปริมาณ 0.2 ml ทำให้มดลูกหดตัวเพิ่มขึ้น



I: INDUCE W: WASH

รูปที่ 3 แสดงผลของสารสกัดอัลลิซิน ความเข้มข้น 3.5 mg/ml
 ปริมาณ 0.2 และ 0.4 ml ต่อการทดสอบของมดลูกหนูแรท
 paper speed 10 mm/min

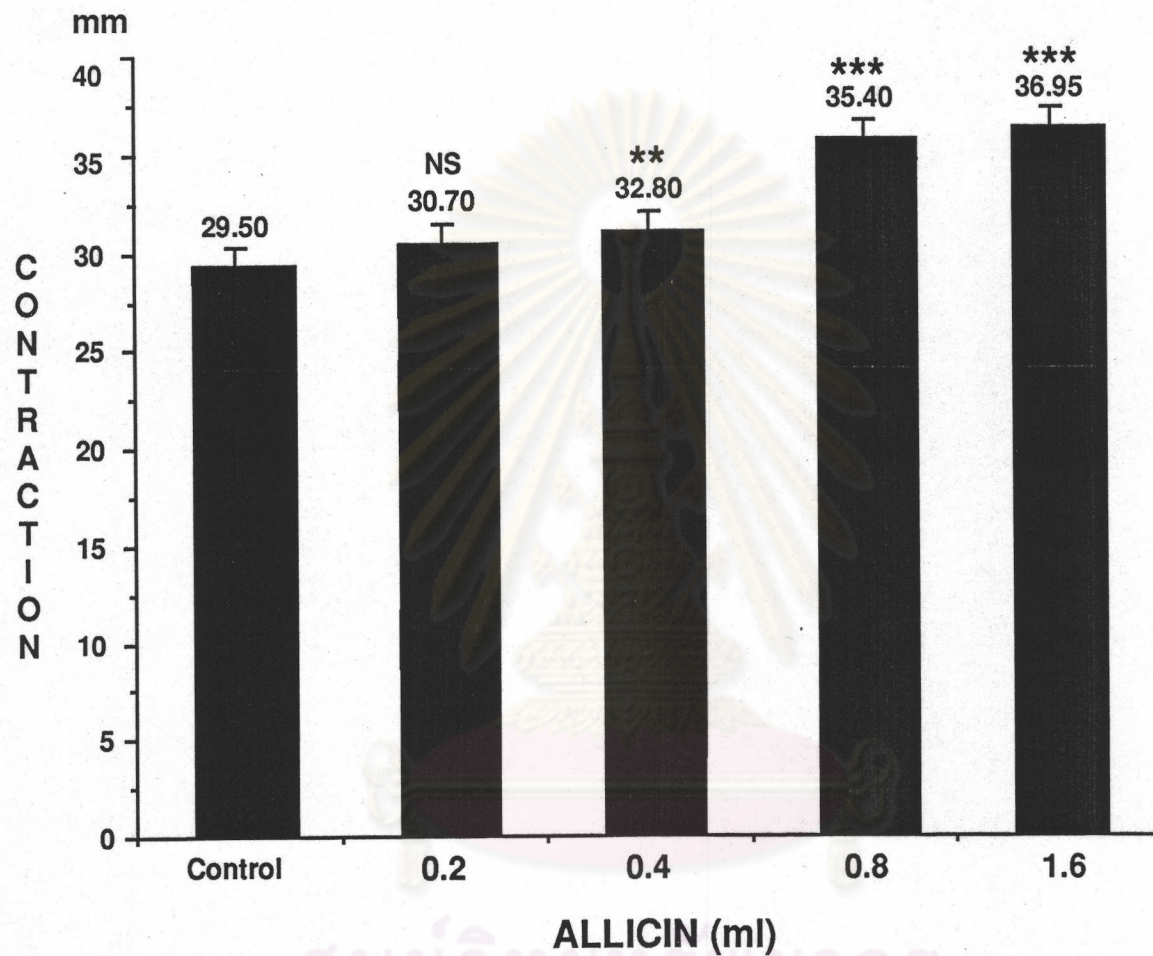
จุฬาลงกรณ์มหาวิทยาลัย



I: INDUCE W: WASH

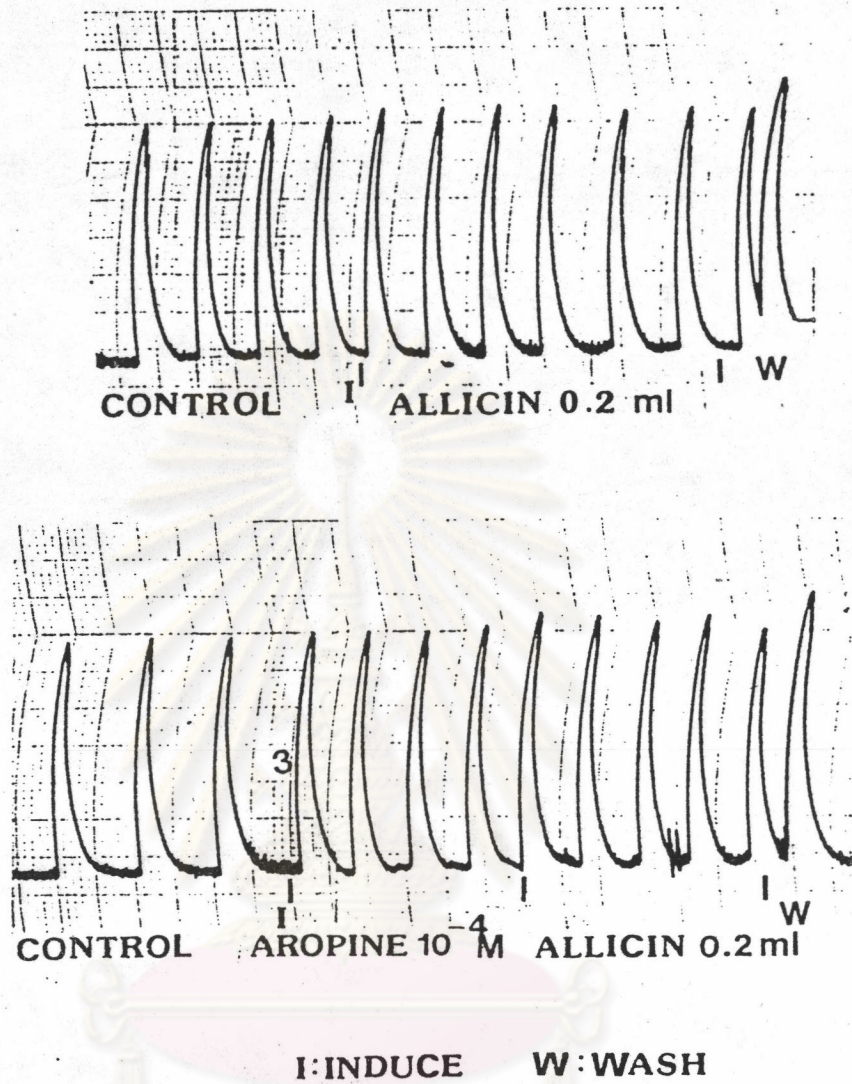
รูปที่ 4 แสดงผลของสารสกัดอัลลิซิน ความเข้มข้น 3.5 mg/ml
 ปริมาณ 0.8 และ 1.6 ml ต่อการทดสอบของมดลูกหนูแรท
 paper speed 10 mm/min

ศูนย์วิจัยเภสัชวิทยา
 จุฬาลงกรณ์มหาวิทยาลัย

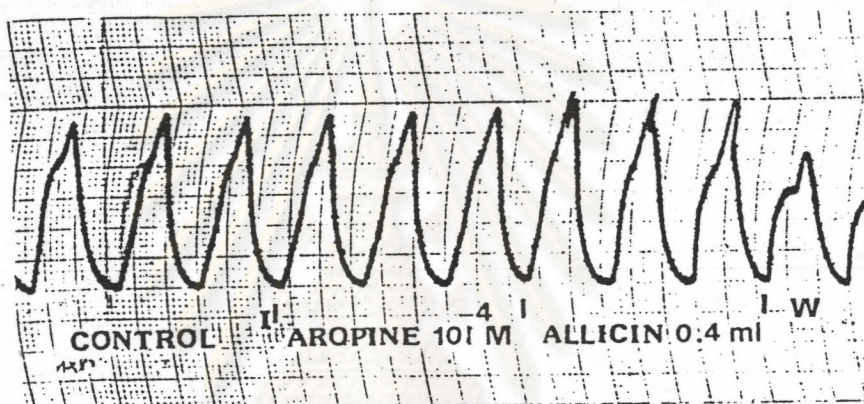
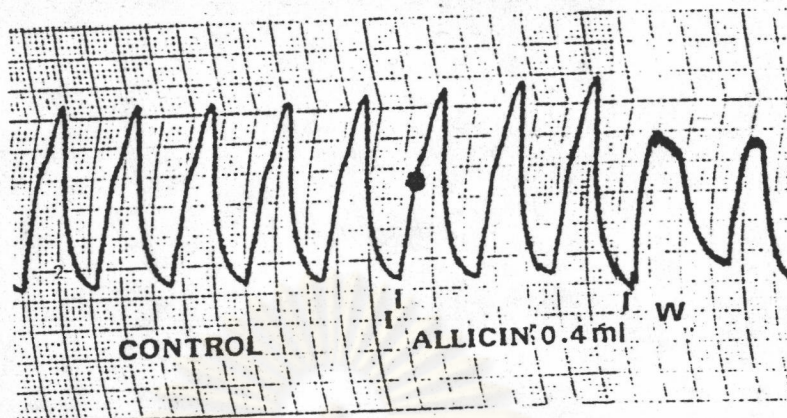


รูปที่ 5 แสดงผลการหดตัวของมดลูกหนูแรทโดยสารสกัดอัลลิซิน ความเข้มข้น 3.5 mg/ml ปริมาณ 0.2 - 1.6 ml แสดงในรูปของ mean \pm SEM

** $P < 0.025$, *** $P < 0.01$, NS : non-significant

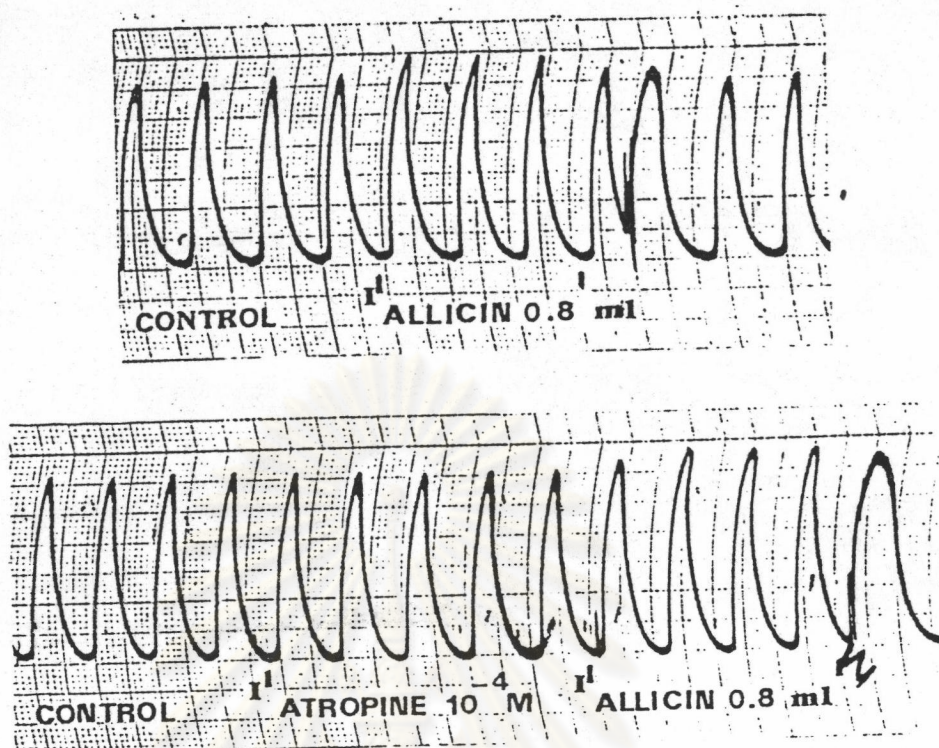


รูปที่ 6 แสดงผลของสารสกัดอัลลิซิน ความเข้มข้น 3.5 mg/ml ปริมาณ 0.2 ml ต่อการหดตัวของมดลูกหนูแรท หลังจากให้ atropine ความเข้มข้น 10^{-4} M ปริมาณ 0.2 ml paper speed 10 mm/min



I: INDUCE W: WASH

รูปที่ 7 แสดงผลของสารสกัดอัลลิซิน ความเข้มข้น 3.5 mg/ml ปริมาณ 0.4 ml ต่อการหดตัวของมดลูกหนูแรท หลังจากให้ atropine ความเข้มข้น 10^{-4} M ปริมาณ 0.2 ml paper speed 10 mm/min



I: INDUCE

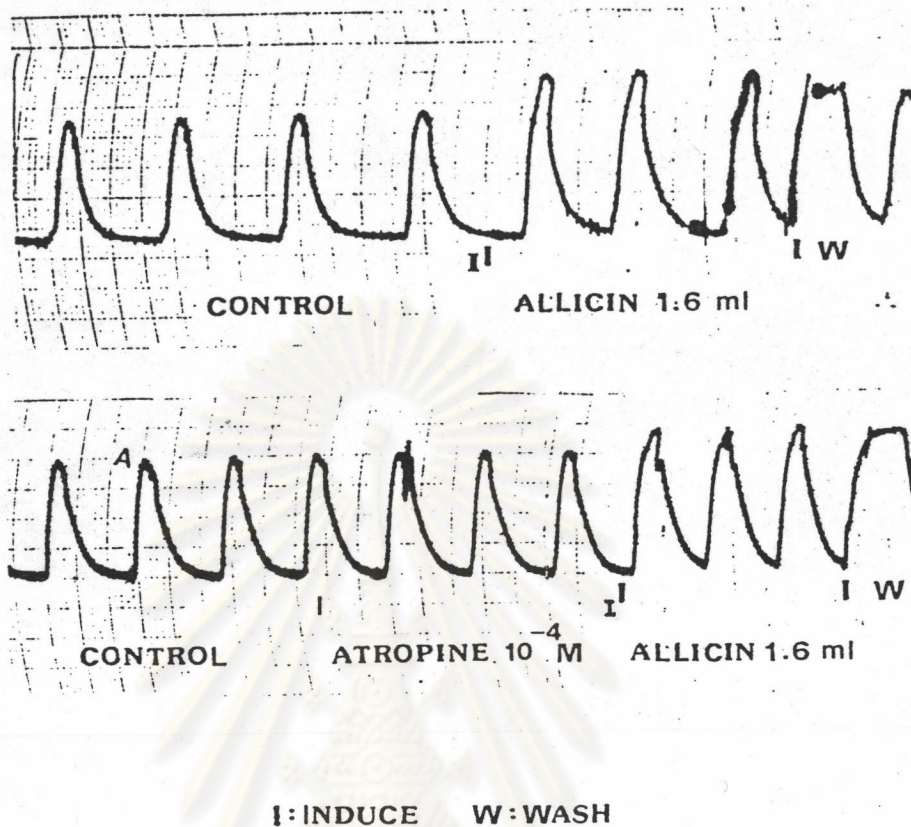
W: WASH

รูปที่ 8 แสดงผลของสารสกัดอัลลิซิน ความเข้มข้น 3.5 mg/ml

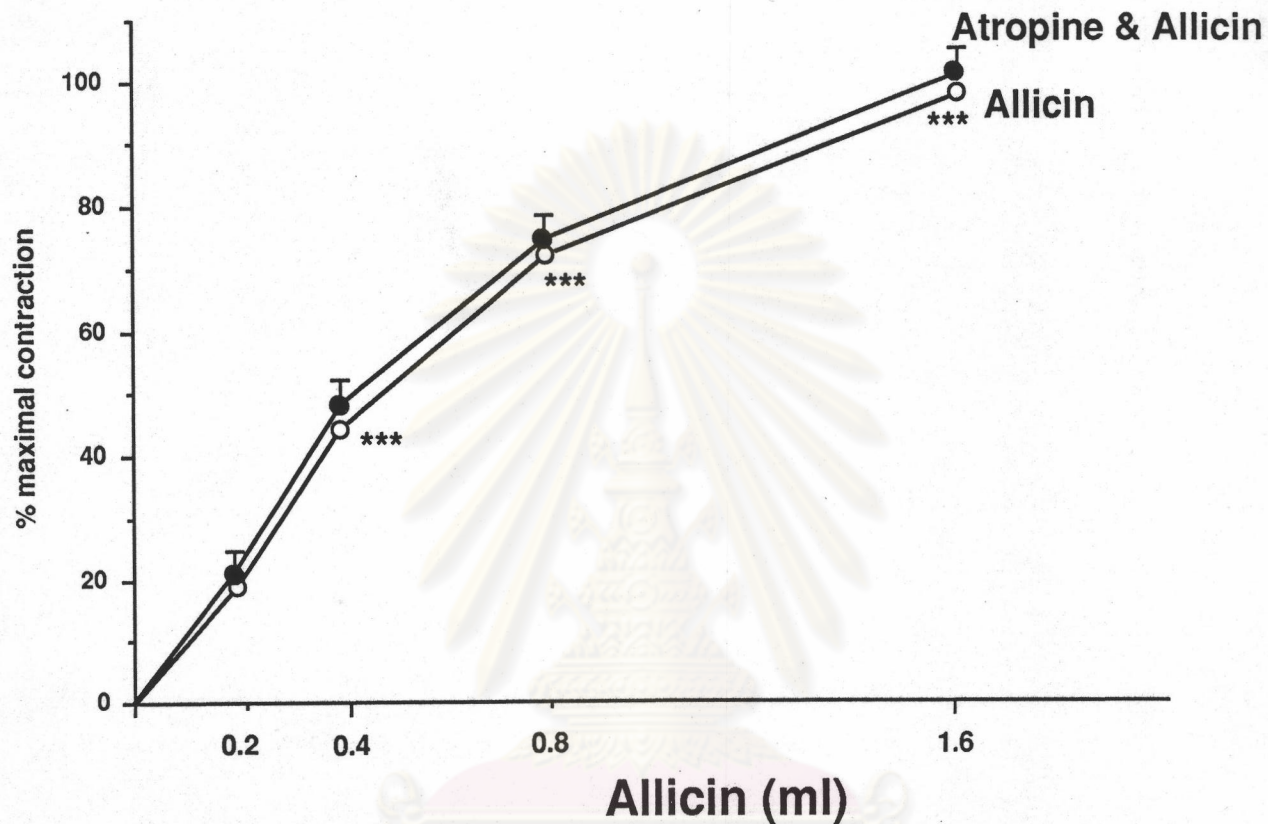
ปริมาณ 0.8 ml ต่อการหัดตัวของมดลูกหนูแรท หลังจากให้

atropine ความเข้มข้น 10⁻⁴ M ปริมาณ 0.2 ml

paper speed 10 mm/min



รูปที่ 9 แสดงผลของสารสกัดอัลลิซิน ความเข้มข้น 3.5 mg/ml ปริมาณ 1.6 ml ต่อการหดตัวของมดลูกหนูแรท หลังจากให้ atropine ความเข้มข้น 10^{-4} M ปริมาณ 0.2 ml paper speed 10 mm/min



- สารสกัดอัลลิซิน ความเข้มข้น 3.5 mg/ml ปริมาณ 0.2-1.6 ml
- สารสกัดอัลลิซิน ความเข้มข้น 3.5 mg/ml ปริมาณ 0.2 -1.6 ml หลังจากให้ atropine ความเข้มข้น 10^{-4} M ปริมาณ 0.2 ml

รูปที่ 10 แสดงผลของ สารสกัดอัลลิซิน ความเข้มข้น 3.5 mg/ml ปริมาณ 0.2-1.6 ml ต่อการหดตัวของมดลูกหนูแรท หลังจากให้ atropine ความเข้มข้น 10^{-4} M ปริมาณ 0.2 ml แสดงในรูปของ mean \pm SEM

*** $P < 0.01$

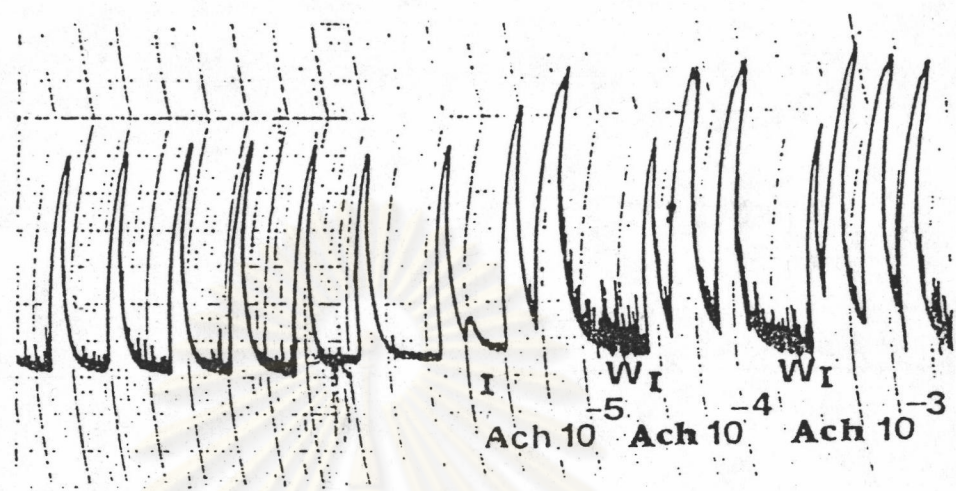
90-95 % ของการหดตัวสูงสุด อย่างมีนัยสำคัญทางสถิติ ($P < 0.01$) จึงเลือก dose นี้ มาใช้ในการทดลอง ส่วนอัตราการหดตัวก็เพิ่มขึ้นเช่นกัน โดยความเข้มข้นของ acetylcholine 10^{-4} M ทำให้อัตราการหดตัวเพิ่มขึ้น อย่างมีนัยสำคัญทางสถิติ ($P < 0.025$) ดังแสดงในรูปที่ 11 และ 12

ผลของการให้ atropine พบว่า atropine สามารถยับยั้งฤทธิ์ของ acetylcholine ต่อการหดตัวของมดลูกได้ ทำให้การหดตัวของมดลูกลดลง และลดลงเป็นสัดส่วนโดยตรงกับความเข้มข้นของ atropine ที่เพิ่มขึ้น พบว่าความเข้มข้นของ atropine 10^{-4} - 10^{-2} M ปริมาณ 0.2 ml สามารถยับยั้งฤทธิ์ของ acetylcholine ความเข้มข้น 10^{-4} M ปริมาณ 0.2 ml ได้อย่างมีนัยสำคัญทางสถิติ (10^{-4} M NS, 10^{-3} M $P < 0.025$, 10^{-2} M $P < 0.01$) ส่วนอัตรา จังหวะ และรูปลักษณ์ ของการหดตัวไม่มีการเปลี่ยนแปลง ดังแสดงในรูปที่ 13, 14, 15 และ 16

3.4 ผลของสารสกัดอัลลีลีนต่อ beta receptor ของมดลูกหนูแรท โดยให้ propranolol กับ isoproterenol

ผลของการให้ isoproterenol พบว่า isoproterenol มีฤทธิ์ทำให้การหดตัวของมดลูกลดลง และลดลงเป็นสัดส่วนโดยตรงกับการเพิ่มความเข้มข้นของ isoproterenol พบว่า ความเข้มข้นของ isoproterenol 10^{-8} - 10^{-5} M ทำให้การหดตัวของมดลูกลดลง 20-60% อย่างมีนัยสำคัญทางสถิติ (10^{-8} M $P < 0.05$, 10^{-7} - 10^{-5} M $P < 0.01$) ดังแสดงในรูปที่ 17, 18 และ 19 โดยความเข้มข้น 10^{-6} M ให้ผลการหดตัวลดลง 50% ของการหดตัวสูงสุด จึงเลือก dose นี้มาใช้ในการทดลอง ส่วนอัตรา จังหวะ และรูปลักษณ์ ของการหดตัวไม่มีการเปลี่ยนแปลง

ผลของการให้ propranolol พบว่า propranolol สามารถยับยั้งฤทธิ์ของ isoproterenol ต่อการคลายตัวของมดลูกได้ ทำให้การหดตัวของมดลูกเพิ่มขึ้น พบว่า ความเข้มข้นของ propranolol 10^{-5} M สามารถยับยั้งฤทธิ์ของ isoproterenol ความเข้มข้น 10^{-6} M ได้อย่างมีนัยสำคัญทางสถิติ ($P < 0.01$) ดังแสดงในรูปที่ 20 และ 21



Ach: ACETYLCHOLINE , M

I: INDUCE

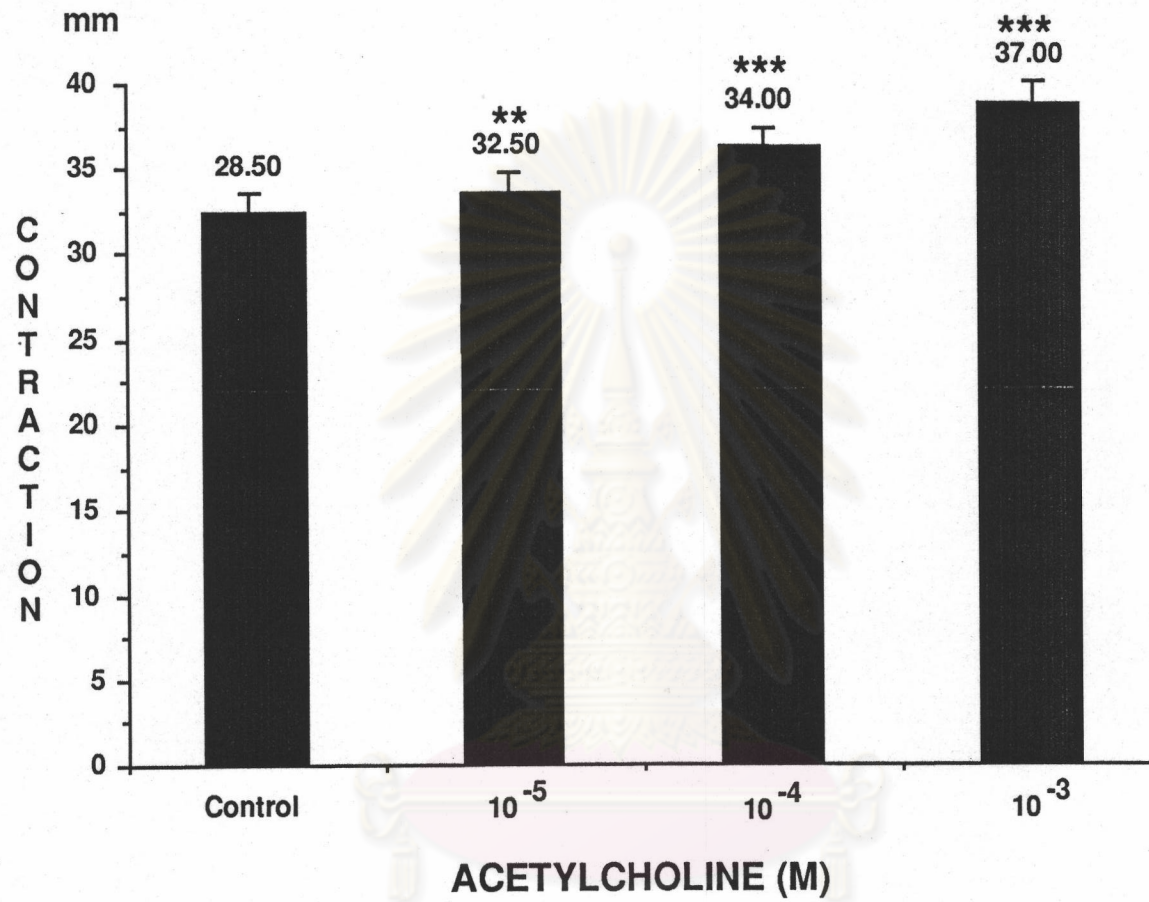
W: WASH

รูปที่ 11 แสดงผลการหดตัวของมดลูกหนูแรทโดย acetylcholine

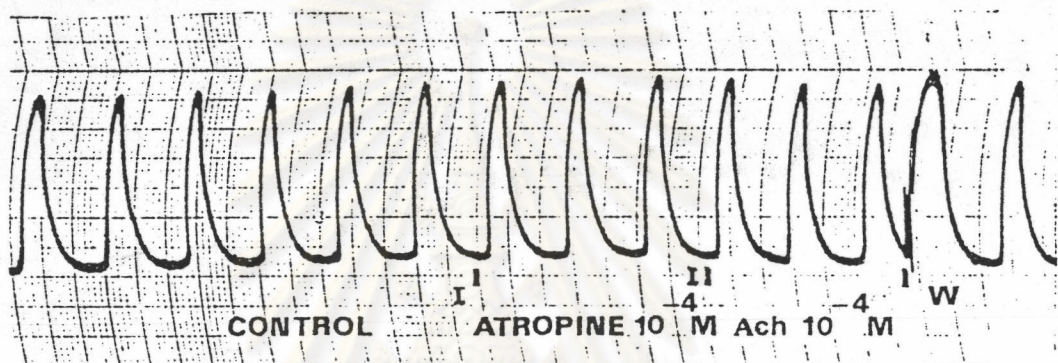
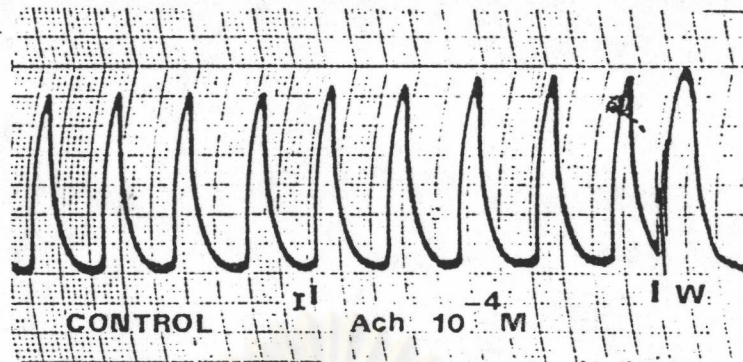
ความเข้มข้น 10⁻⁵-10⁻³ M ปริมาณ 0.2 ml

paper speed 10 mm/min

จุฬาลงกรณ์มหาวิทยาลัย



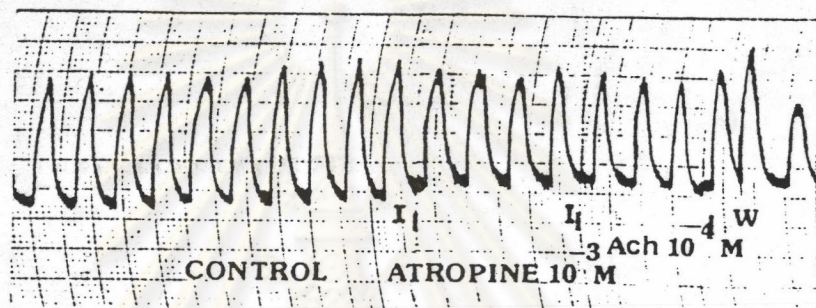
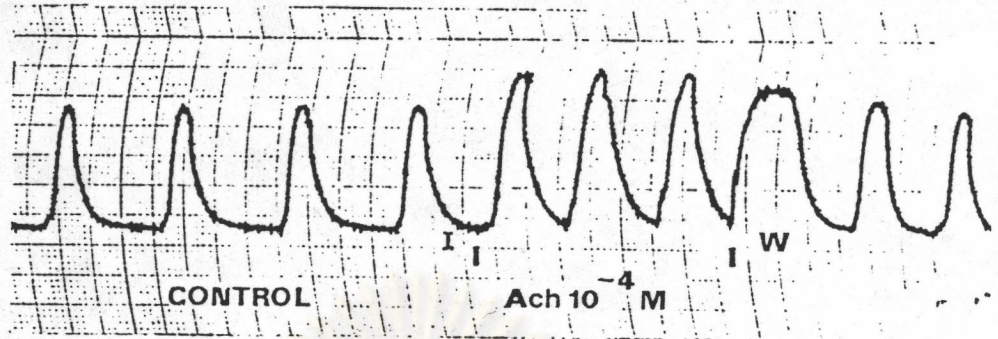
รูปที่ 12 แสดงผลการหดตัวของมดลูกหนูแรทโดย acetylcholine ความเข้มข้น 10^{-5} - 10^{-3} M ปริมาณ 0.2 ml แสดงในรูปของ mean \pm SEM
 ** $P < 0.025$, *** $P < 0.01$



Ach: ACETYLCHOLINE

I: INDUCE W: WASH

รูปที่ 13 แสดงผลของ acetylcholine ความเข้มข้น 10^{-4} M ปริมาณ 0.2 ml ต่อการหดตัวของมดลูกหนูแรท หลังจากให้ atropine ความเข้มข้น 10^{-4} M ปริมาณ 0.2 ml paper speed 10 mm/min

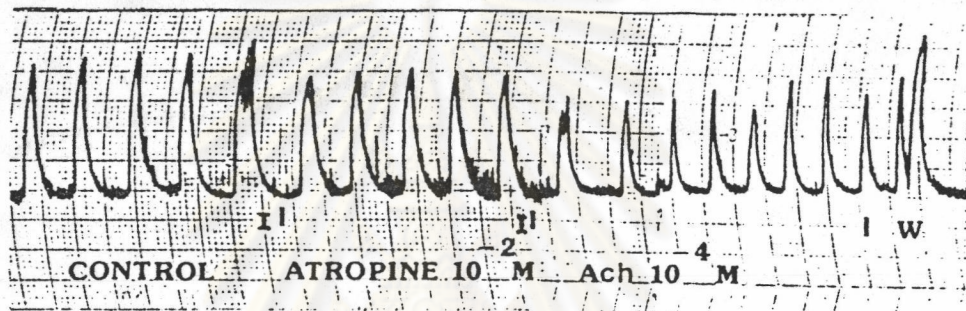
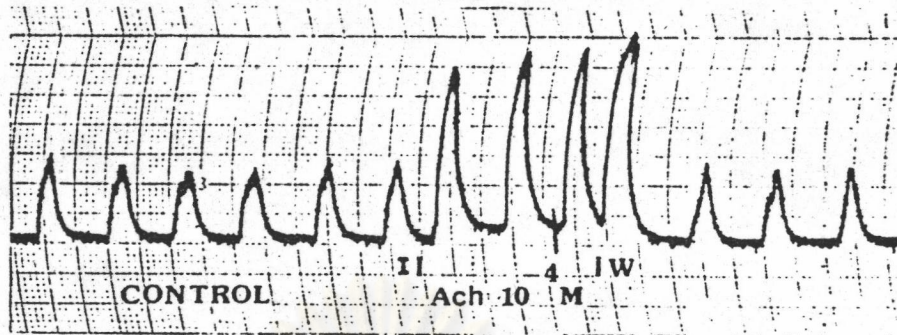


Ach: ACETYLCHOLINE

I: INDUCE

W: WASH

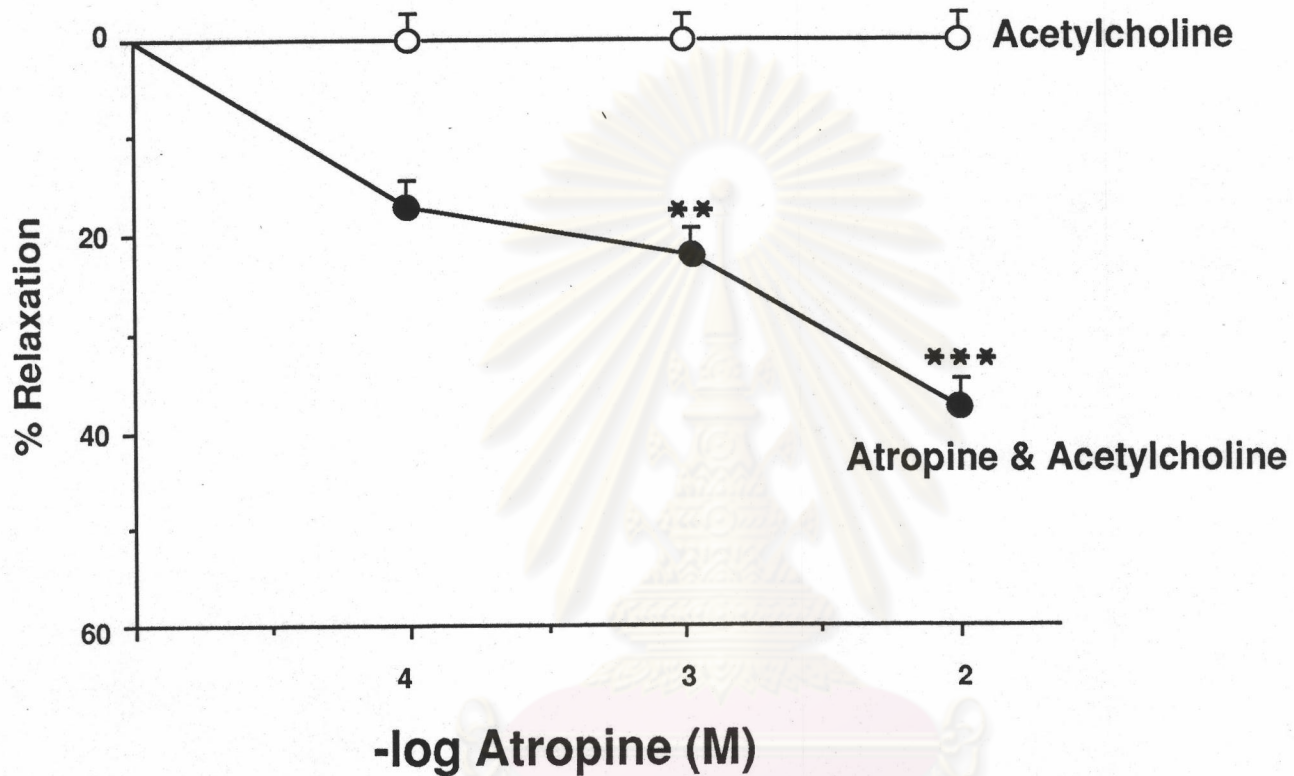
รูปที่ 14 แสดงผลของ acetylcholine ความเข้มข้น 10^{-4} M ปริมาณ 0.2 ml ต่อการหดตัวของมดลูกหนูแรท หลังจากทำให้ atropine ความเข้มข้น 10^{-3} M ปริมาณ 0.2 ml paper speed 10 mm/min



Ach: ACETYLCHOLINE

I: INDUCE W: WASH

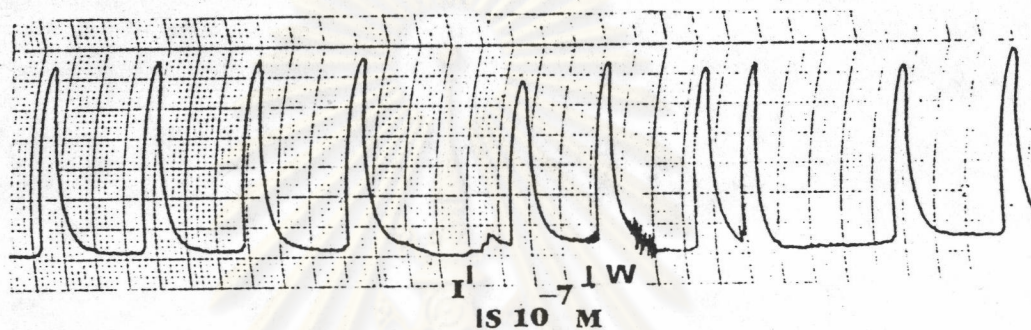
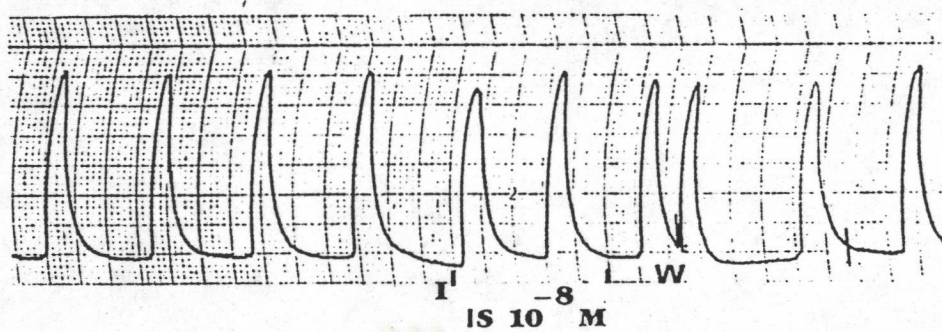
รูปที่ 15 แสดงผลของ acetylcholine ความเข้มข้น 10^{-4} M ปริมาณ 0.2 ml ต่อการหดตัวของมดลูกหนูแรท หลังจากให้ atropine ความเข้มข้น 10^{-2} M ปริมาณ 0.2 ml paper speed 10 mm/min



- Acetylcholine ความเข้มข้น 10^{-4} M ปริมาณ 0.2 ml
- Acetylcholine ความเข้มข้น 10^{-4} M ปริมาณ 0.2 ml หลังจากให้ atropine ความเข้มข้น 10^{-4} M - 10^{-2} M ปริมาณ 0.2 ml

รูปที่ 16 แสดงผลของ acetylcholine ความเข้มข้น 10^{-4} M ปริมาณ 0.2 ml ต่อการหดตัวของมดลูกหนูแรท หลังจากให้ atropine ความเข้มข้น 10^{-4} - 10^{-2} M ปริมาณ 0.2 ml แสดงในรูปของ mean \pm SEM

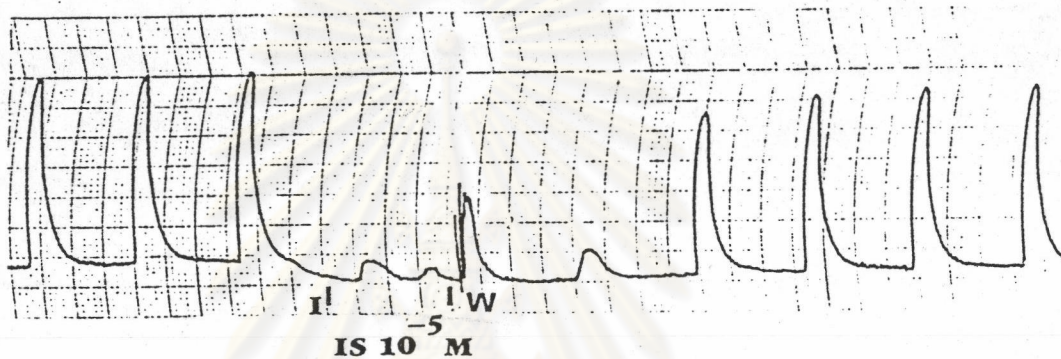
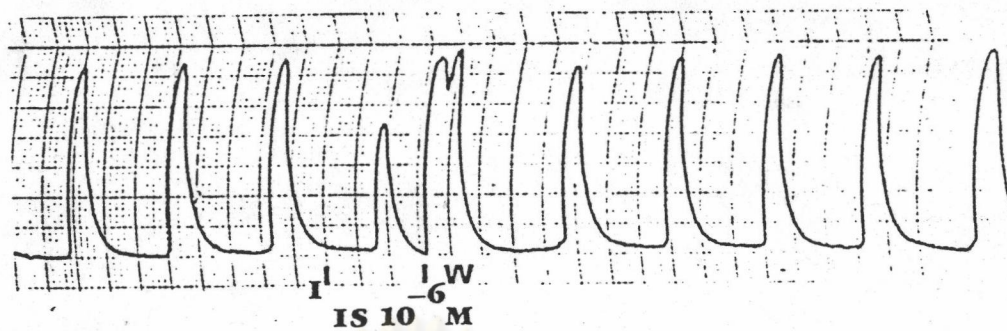
** $P < 0.025$, *** $P < 0.01$



IS: ISOPROTERENOL

I: INDUCE W: WASH

รูปที่ 17 แสดงผลการทดสอบของมดลูกหนูแรทโดย isoproterenol
 ความเข้มข้น 10^{-8} และ 10^{-7} M ปริมาณ 0.2 ml
 paper speed 10 mm/min



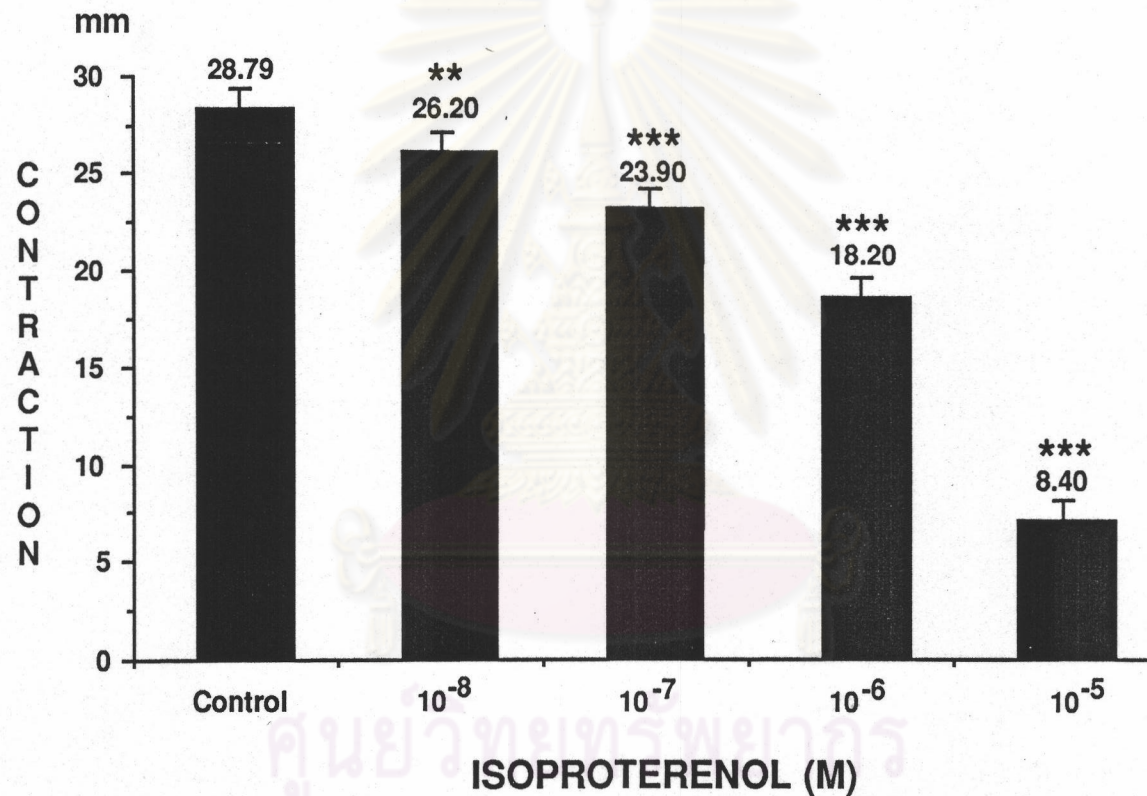
IS: ISOPROTERENOL

I: INDUCE W: WASH

รูปที่ 18 แสดงผลการทดสอบของมดลูกหนูแรทโดย isoproterenol

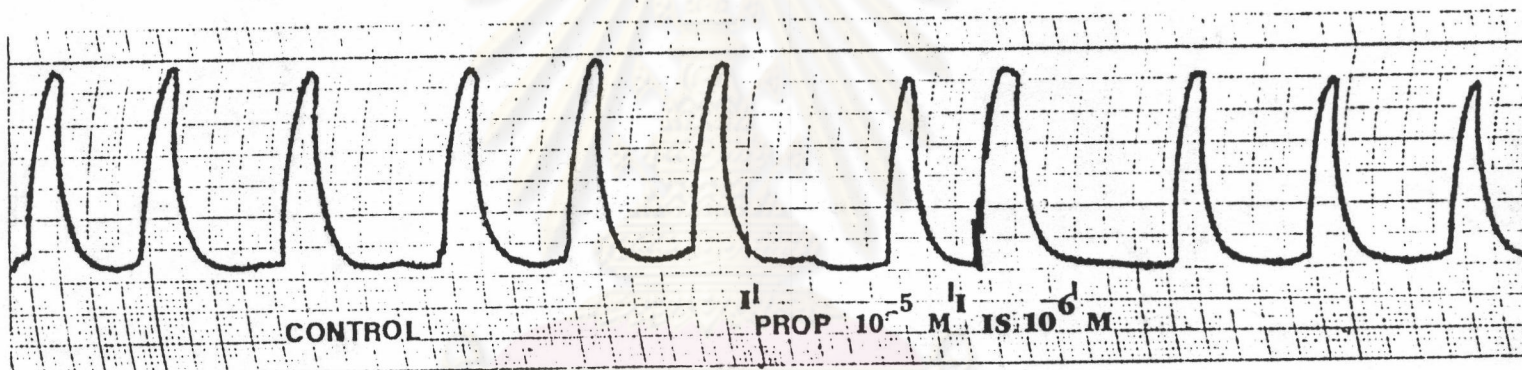
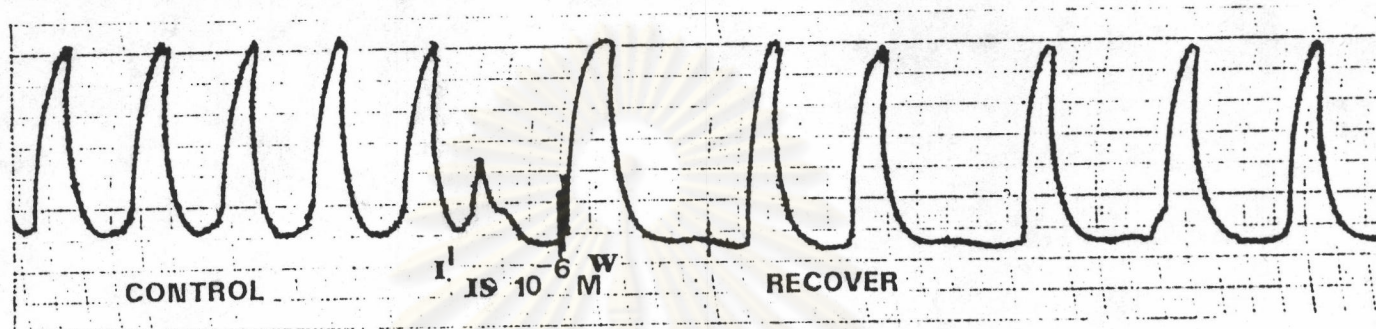
ความเข้มข้น 10^{-9} และ 10^{-5} M ปริมาณ 0.2 ml

paper speed 10 mm/min



รูปที่ 19 แสดงผลการหดตัวของมดลูกหนูแรทโดย isoproterenol ความเข้มข้น 10^{-8} - 10^{-5} M ปริมาณ 0.2 ml แสดงในรูปของ mean \pm SEM

** P < 0.025 , *** P < 0.01



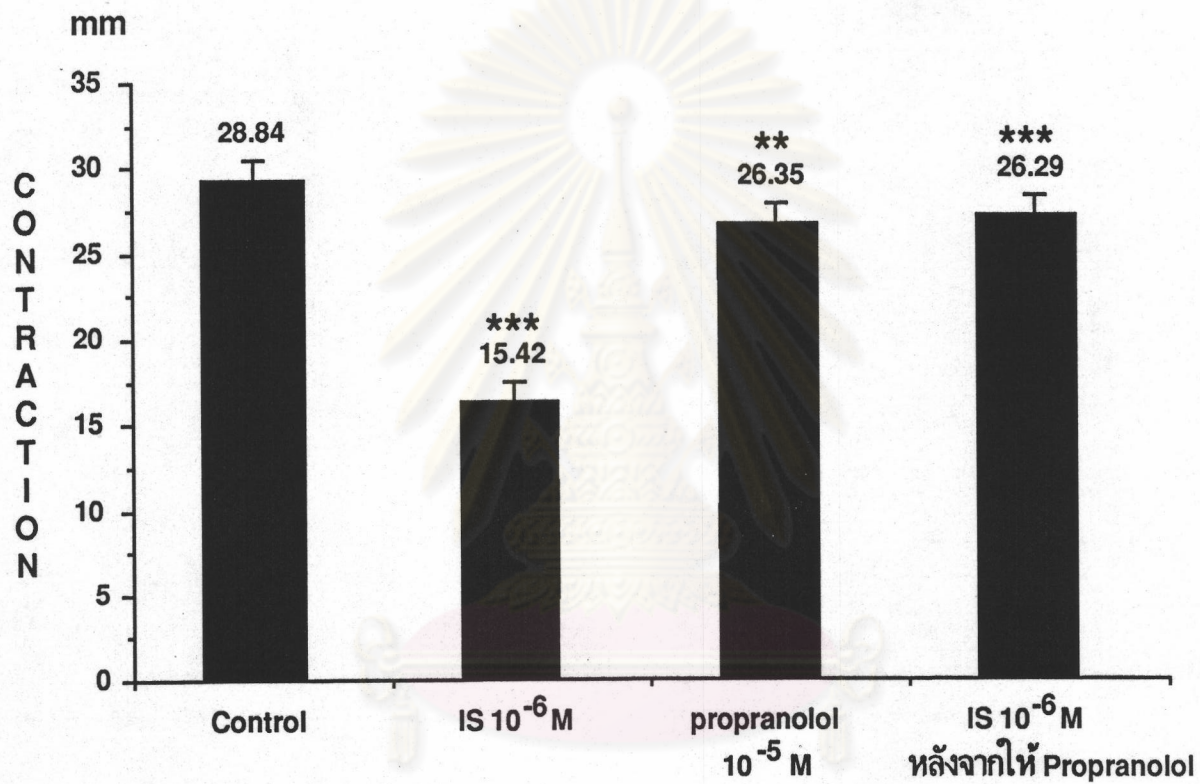
IS: ISOPROTERENOL

PROP: PROPANOLOL

I: INDUCE

W: WASH

รูปที่ 20 แสดงผลของ isoproterenol ความเข้มข้น 10^{-6} M ปริมาณ 0.2 ml ต่อการหดตัวของมดลูกหนูแรท หลังจากให้ propranolol ความเข้มข้น 10^{-5} M ปริมาณ 0.2 ml
paper speed 10 mm/min



รูปที่ 21 แสดงผลของ isoproterenol ความเข้มข้น 10^{-6} M ปริมาณ 0.2 ml ต่อการหดตัวของมดลูกหนูแรท หลังจากให้ propranolol ความเข้มข้น 10^{-5} M ปริมาณ 0.2 ml แสดงในรูปของ mean \pm SEM

** $P < 0.025$, *** $P < 0.01$

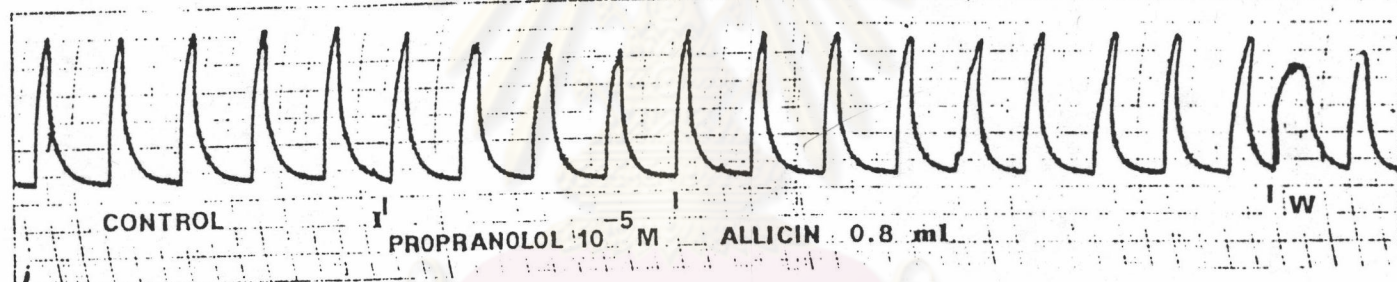
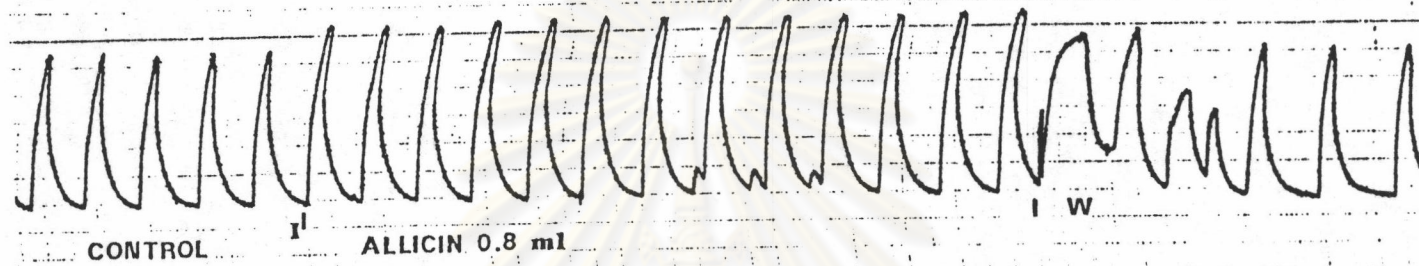
ผลของสารสกัดสารอัลลีซิน ความเข้มข้น 3.5 mg/ml ปริมาณ 0.8 ml หลังจากให้ propranolol ความเข้มข้น 10^{-5} M ปริมาณ 0.2 ml พบว่า propranolol ไม่สามารถเสริมฤทธิ์ของสารสกัดอัลลีซินต่อการหดตัวของมดลูกได้ เพียงแต่ไปทำให้สารสกัดอัลลีซินออกฤทธิ์ต่อมดลูกโดยตรงได้น้อยลงเท่านั้น ดังแสดงในรูปที่ 22 และ 23 ส่วนอัตรา จังหวะ และรูปลักษณ์ ของการหดตัวไม่มีการเปลี่ยนแปลง

3.5 ผลของสารสกัดอัลลีซินต่อ alpha receptor ของมดลูกหนูแรท โดยใช้นorepinephrine กับ phentolamine

ผลของการให้ norepinephrine พบว่า norepinephrine มีฤทธิ์ทำให้การหดตัวของมดลูกเพิ่มขึ้นและเพิ่มขึ้นเป็นสัดส่วนโดยตรงกับการเพิ่มความเข้มข้นของ norepinephrine พบว่า ความเข้มข้นของ norepinephrine 10^{-5} - 10^{-3} M ทำให้การหดตัวของมดลูกเพิ่มขึ้น 70-95% อย่างมีนัยสำคัญทางสถิติ (10^{-5} M NS, 10^{-4} M $P < 0.05$, 10^{-3} M $P < 0.025$) ดังแสดงในรูปที่ 24 และ 25 โดยความเข้มข้น 10^{-4} M ให้ผลการหดตัวเพิ่มขึ้น 90% ของการหดตัวสูงสุด จึงเลือก dose นี้มาใช้ในการทดลอง

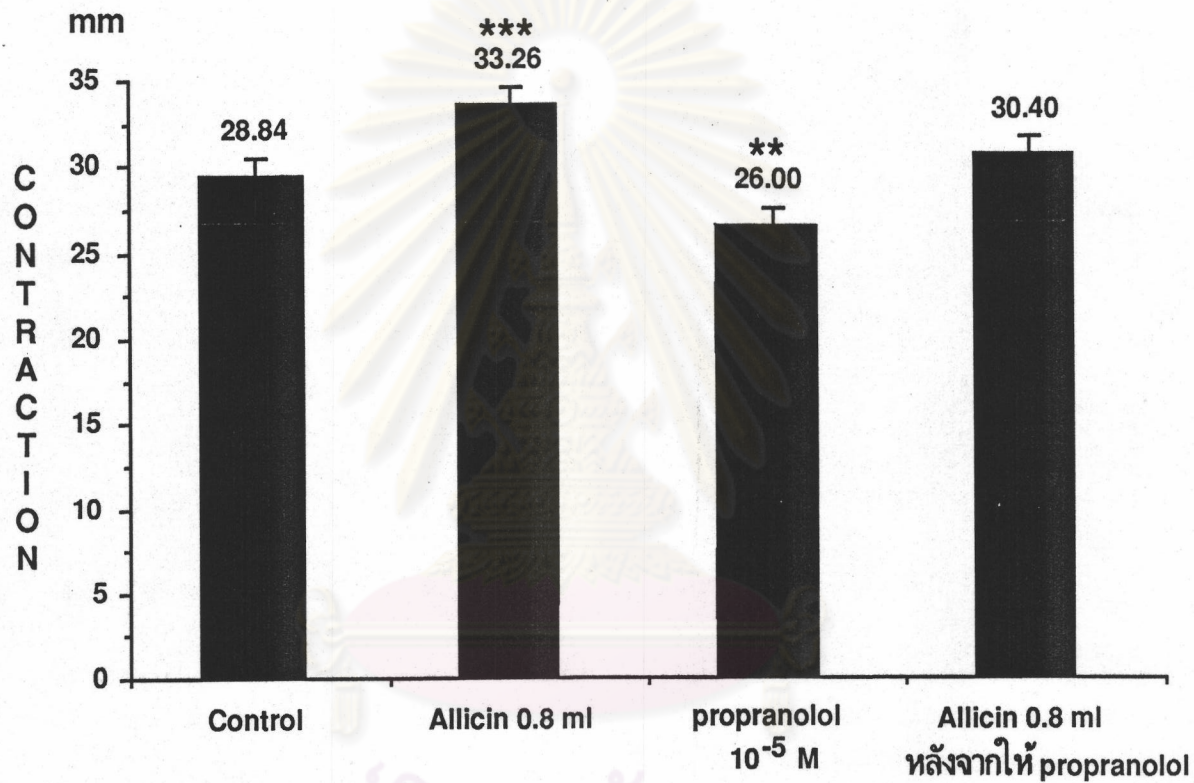
ผลของการให้ phentolamine พบว่า phentolamine สามารถยับยั้งฤทธิ์ของ norepinephrine ต่อการหดตัวของมดลูกได้ ทำให้การหดตัวของมดลูกลดลง พบว่า ความเข้มข้นของ phentolamine 10^{-4} M ปริมาณ 0.2 ml สามารถยับยั้งฤทธิ์ของ norepinephrine ความเข้มข้น 10^{-4} M ปริมาณ 0.2 ml ได้ อย่างมีนัยสำคัญทางสถิติ ($P < 0.025$) ดังแสดงในรูปที่ 26 และ 27

ผลของสารสกัดอัลลีซิน ความเข้มข้น 3.5 mg/ml ปริมาณ 0.8 ml หลังจากให้ phentolamine พบว่า phentolamine ไม่สามารถยับยั้งฤทธิ์ของสารสกัดอัลลีซินได้ ดังนั้นผลของสารสกัดอัลลีซินต่อการหดตัวของมดลูก หลังจากให้ phentolamine แล้วยังสามารถเพิ่มการหดตัวของมดลูกได้ อย่างมีนัยสำคัญทางสถิติ ($P < 0.01$) ดังแสดงในรูปที่ 28 และ 29 ส่วนอัตรา จังหวะ และรูปลักษณ์ ของการหดตัวไม่มีการเปลี่ยนแปลง



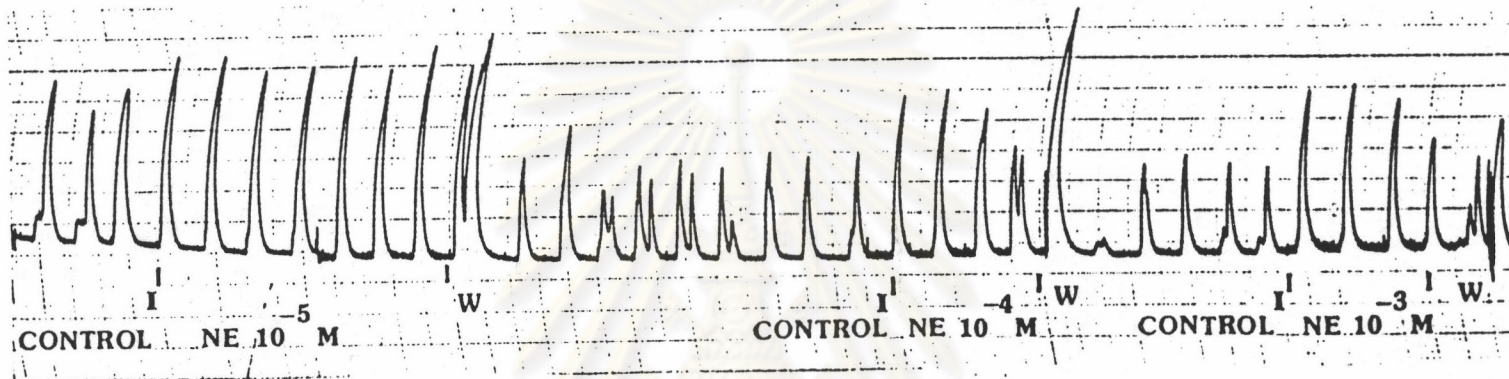
I: INDUCE W: WASH

รูปที่ 22 แสดงผลของสารสกัดอัลลิซิน ความเข้มข้น 3.5 mg/ml ปริมาณ 0.8 ml ต่อการหดตัวของมดลูกหนูแรท หลังจากให้ propranolol ความเข้มข้น 10⁻⁵ M ปริมาณ 0.2 ml
paper speed 10 mm/min



รูปที่ 23 แสดงผลของสารสกัดอัลลิซิน ความเข้มข้น 3.5 mg/ml ปริมาณ 0.8 ml ต่อการหดตัวของมดลูกหนูแรท หลังจากให้ propranolol ความเข้มข้น 10^{-5} M ปริมาณ 0.2 ml แสดงในรูปของ mean \pm SEM

** P < 0.025 , *** P < 0.01



NE : NOREPINEPHRINE

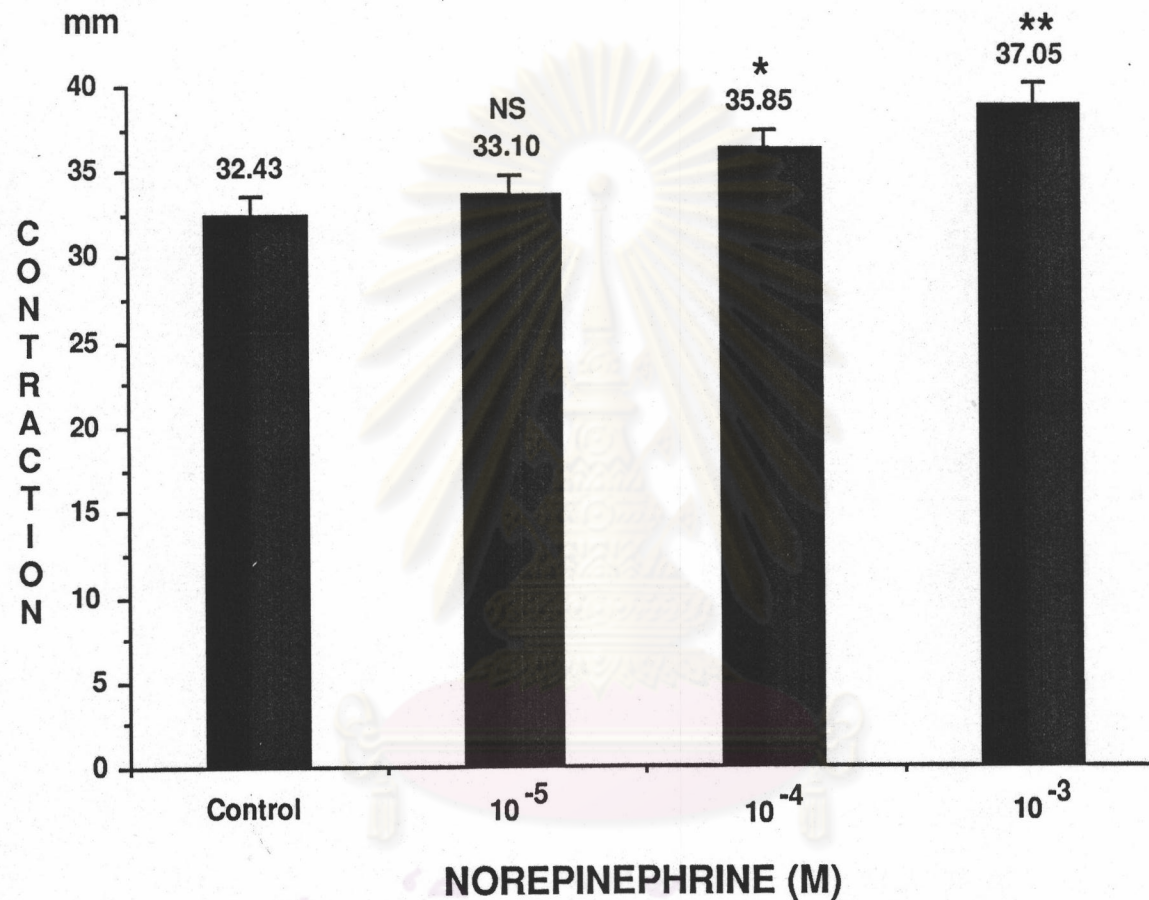
I : INDUCE

W : WASH

รูปที่ 24 แสดงผลการหาค่าของมดลูกหนูแรทโดย norepinephrine

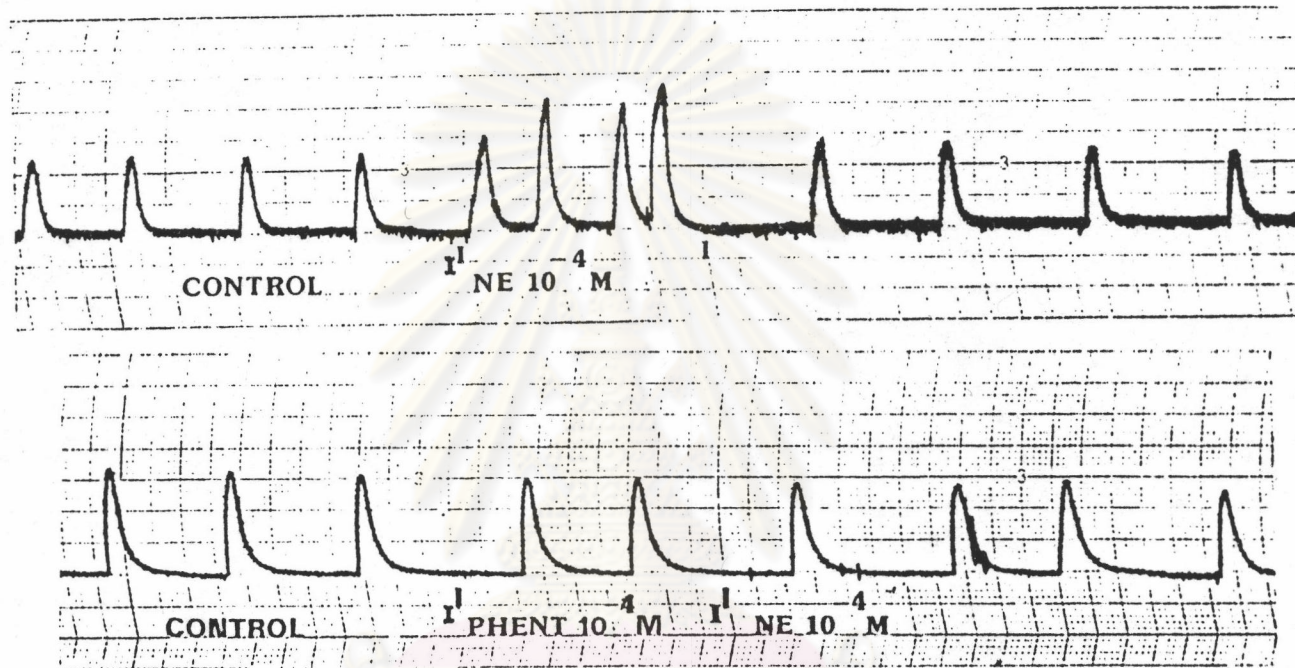
ความเข้มข้น 10^{-5} - 10^{-3} M ปริมาณ 0.2 ml

paper speed 10 mm/min



รูปที่ 25 แสดงผลการหดตัวของมดลูกหนูแรทโดย norepinephrine ความเข้มข้น 10^{-5} - 10^{-3} M ปริมาณ 0.2 ml แสดงในรูปของ mean \pm SEM

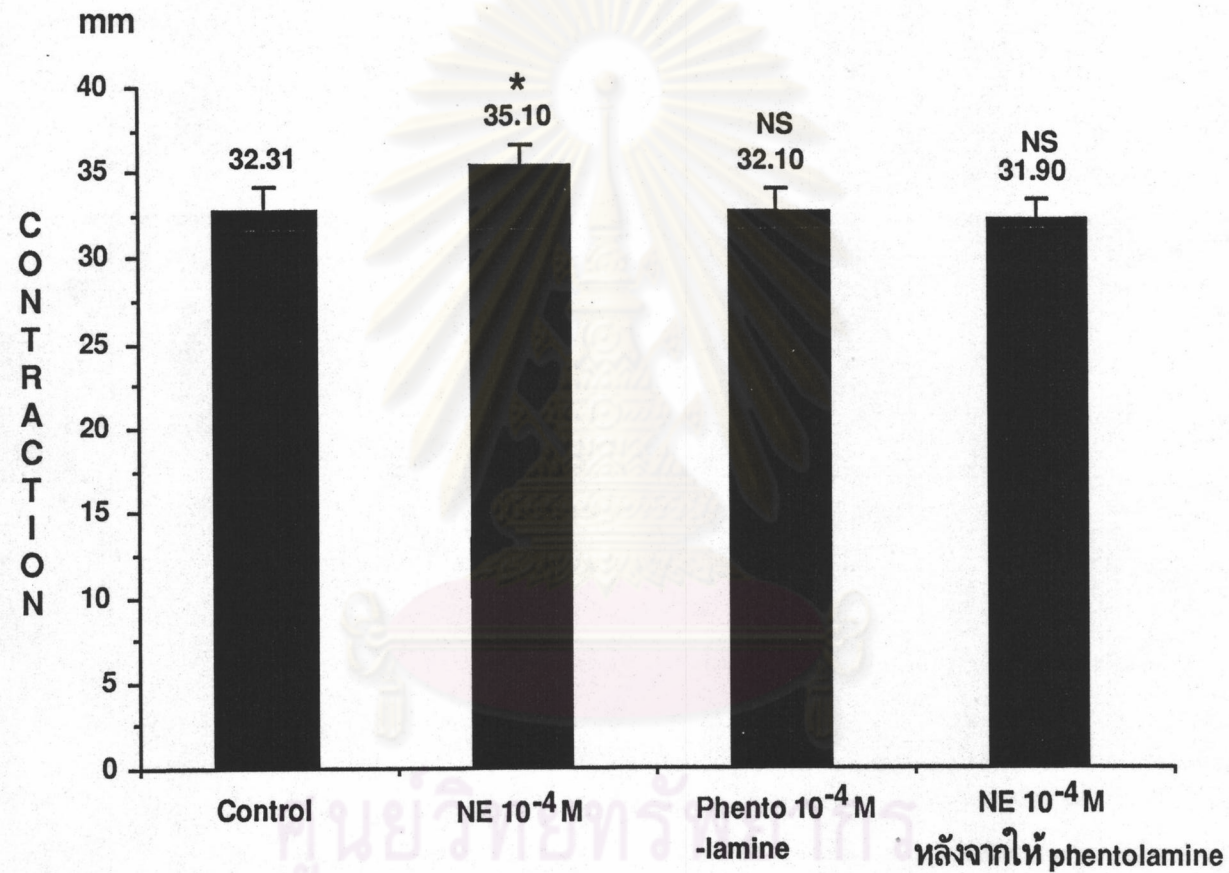
* $P < 0.05$, ** $P < 0.025$, NS : non-significant



NE: NOREPINEPHRINE PHENT: PHENTOLAMINE.

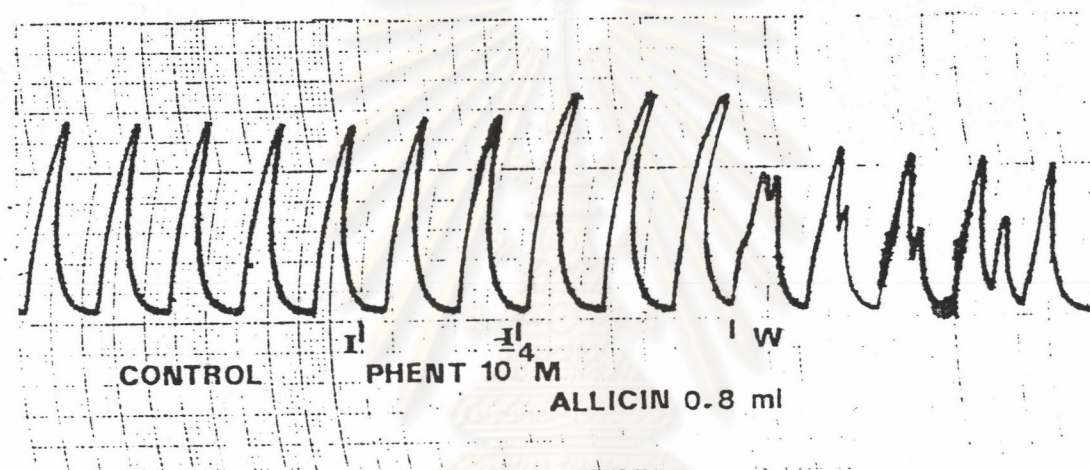
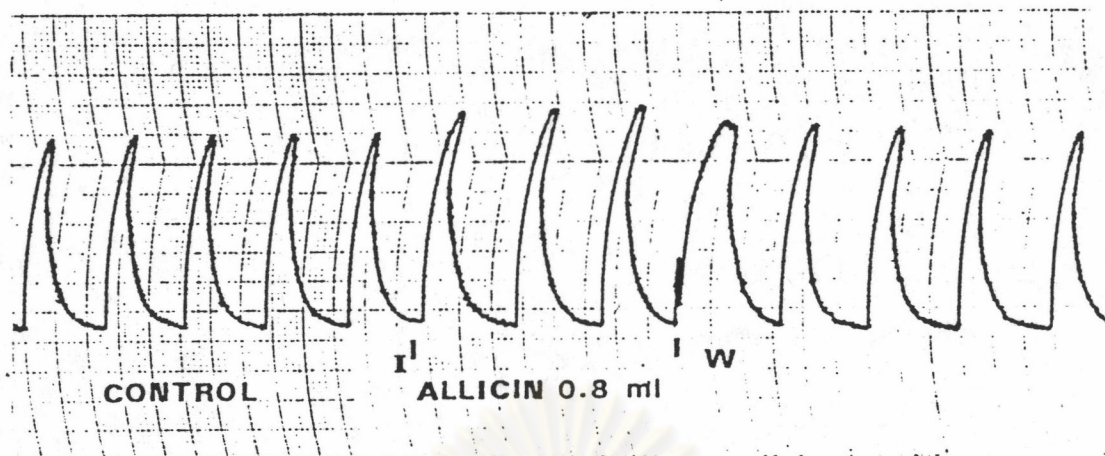
I: INDUCE W: WASH

รูปที่ 26 แสดงผลของ norepinephrine ความเข้มข้น 10^{-4} M ปริมาณ 0.2 ml ต่อการหดตัวของมดลูกหนูแรท หลังจากให้ phentolamine ความเข้มข้น 10^{-4} M ปริมาณ 0.2 ml
paper speed 10 mm/min



รูปที่ 27 แสดงผลของ norepinephrine ความเข้มข้น 10⁻⁴M ปริมาณ 0.2 ml ต่อการหดตัวของมดลูกหนูแรท หลังจากให้ phentolamine ความเข้มข้น 10⁻⁴ M ปริมาณ 0.2 ml แสดงในรูปของ mean ± SEM

* P < 0.05 , NS : non-significant

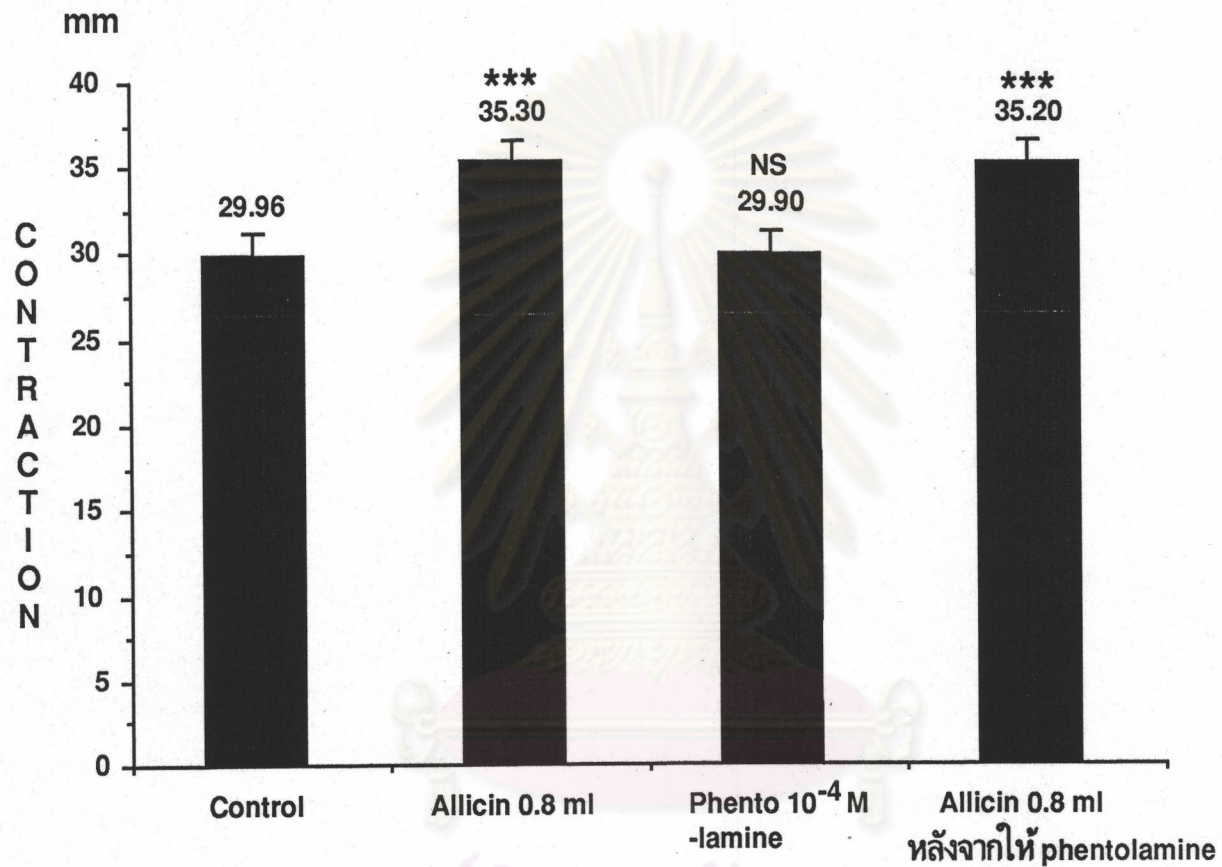


PHENT : PHENTOLAMINE

I:INDUCE W:WASH

ศูนย์วิทยทรัพยากร
จุฬาลงกรณ์มหาวิทยาลัย

รูปที่ 28 แสดงผลของสารสกัดอัลลิซิน ความเข้มข้น 3.5 mg/ml ปริมาณ 0.8 ml
ต่อการหดตัวของมดลูกหนูแรท หลังจากให้ phentolamine
ความเข้มข้น 10^{-4} M ปริมาณ 0.2 ml
paper speed 10 mm/min



รูปที่ 29 แสดงผลของสารสกัดอัลลิซิน ความเข้มข้น 3.5 mg/ml ปริมาณ 0.8 ml ต่อการหดตัวของมดลูกหนูแรท หลังจากให้ phentolamine ความเข้มข้น 10⁻⁴ M ปริมาณ 0.2 ml แสดงในรูปของ mean ± SEM

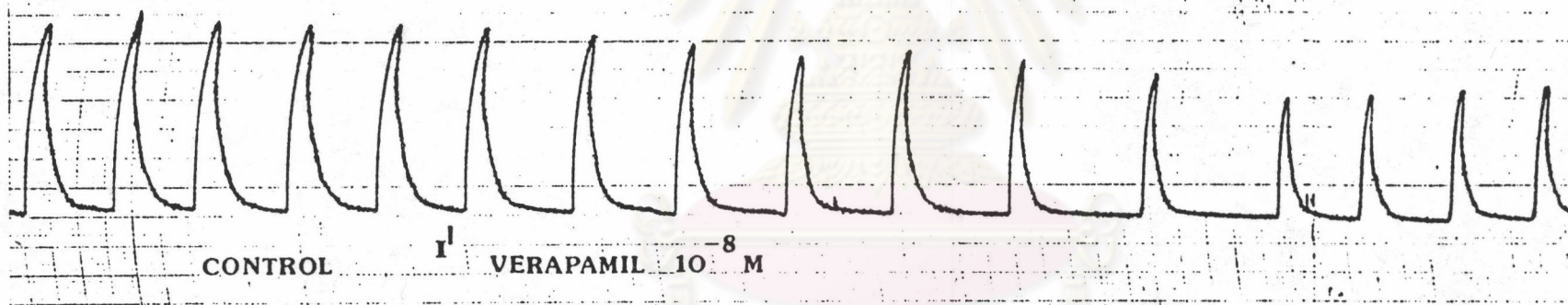
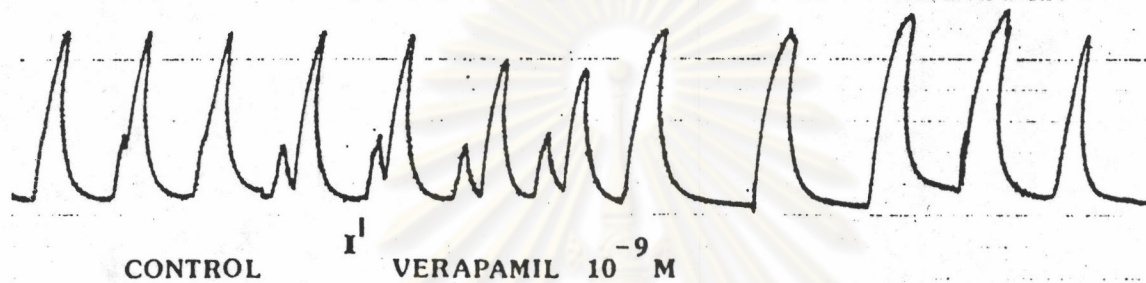
*** P < 0.01 , NS : nosignificant

3.6 ผลของสารสกัดอัลลิซินต่อ Ca-blocker ของมดลูกหนูแรทโดยใช้ verapamil

ผลของการให้ verapamil พบว่า verapamil มีฤทธิ์ทำให้การหดตัวของมดลูกลดลง และลดลงเป็นสัดส่วนโดยตรงกับการเพิ่มความเข้มข้นของ verapamil พบว่าความเข้มข้นของ verapamil 10^{-9} - 10^{-6} M ทำให้การหดตัวของมดลูกลดลง 20-90% อย่างมีนัยสำคัญทางสถิติ (10^{-9} - 10^{-6} M $P < 0.01$) ดังแสดงในรูปที่ 30, 31 และ 32 โดยความเข้มข้น 10^{-6} M ให้ผลการหดตัวลดลง 80% ของการหดตัวสูงสุด จึงเลือก dose นี้มาใช้ในการทดลอง ส่วนอัตราของการหดตัวลดลงเช่นกัน โดยความเข้มข้นของ verapamil 10^{-9} - 10^{-6} M ทำให้อัตราการหดตัวลดลง อย่างมีนัยสำคัญทางสถิติ ($P < 0.025$) ส่วนจังหวะและรูปลักษณ์ ของการหดตัวไม่มีการเปลี่ยนแปลง

ผลของการให้สารสกัดอัลลิซิน ความเข้มข้น 3.5 mg/ml ปริมาณ 0.8 ml หลังจากให้ verapamil ความเข้มข้น 10^{-6} M ปริมาณ 0.2 ml พบว่าสารสกัดอัลลิซินจะให้ผลตอบสนองต่อการหดตัวของมดลูกหนูแรทเพิ่มขึ้น โดยการหดตัวจะสูงขึ้นตามปริมาณของสารสกัดอัลลิซินที่เพิ่มขึ้น พบว่าปริมาณของสารสกัดอัลลิซิน 0.2 และ 0.4 ml ทำให้การหดตัวของมดลูกเพิ่มขึ้นหลังจากให้ verapamil อย่างไม่มีนัยสำคัญทางสถิติ แต่ปริมาณของสารสกัดอัลลิซิน 0.8 และ 1.6 ml ทำให้การหดตัวของมดลูกเพิ่มขึ้นหลังจากให้ verapamil อย่างมีนัยสำคัญทางสถิติ (0.8 ml $P < 0.025$, 1.6 ml $P < 0.01$) ดังแสดงในรูปที่ 33, 34 และ 35 ส่วนอัตรา จังหวะ และรูปลักษณ์ ของการหดตัวไม่มีการเปลี่ยนแปลง

ศูนย์วิทยาศาสตร์การ
จุฬาลงกรณ์มหาวิทยาลัย

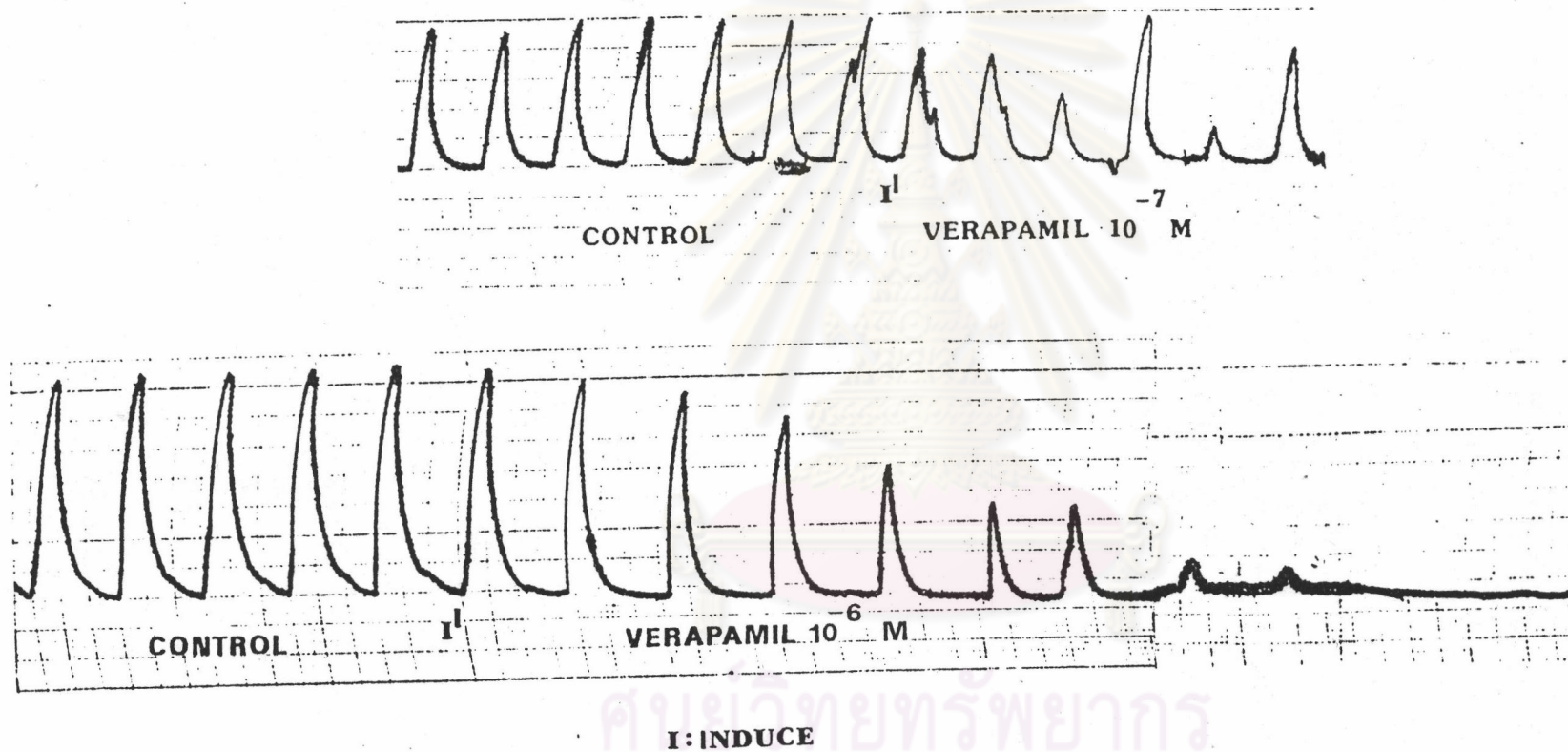


I:INDUCE

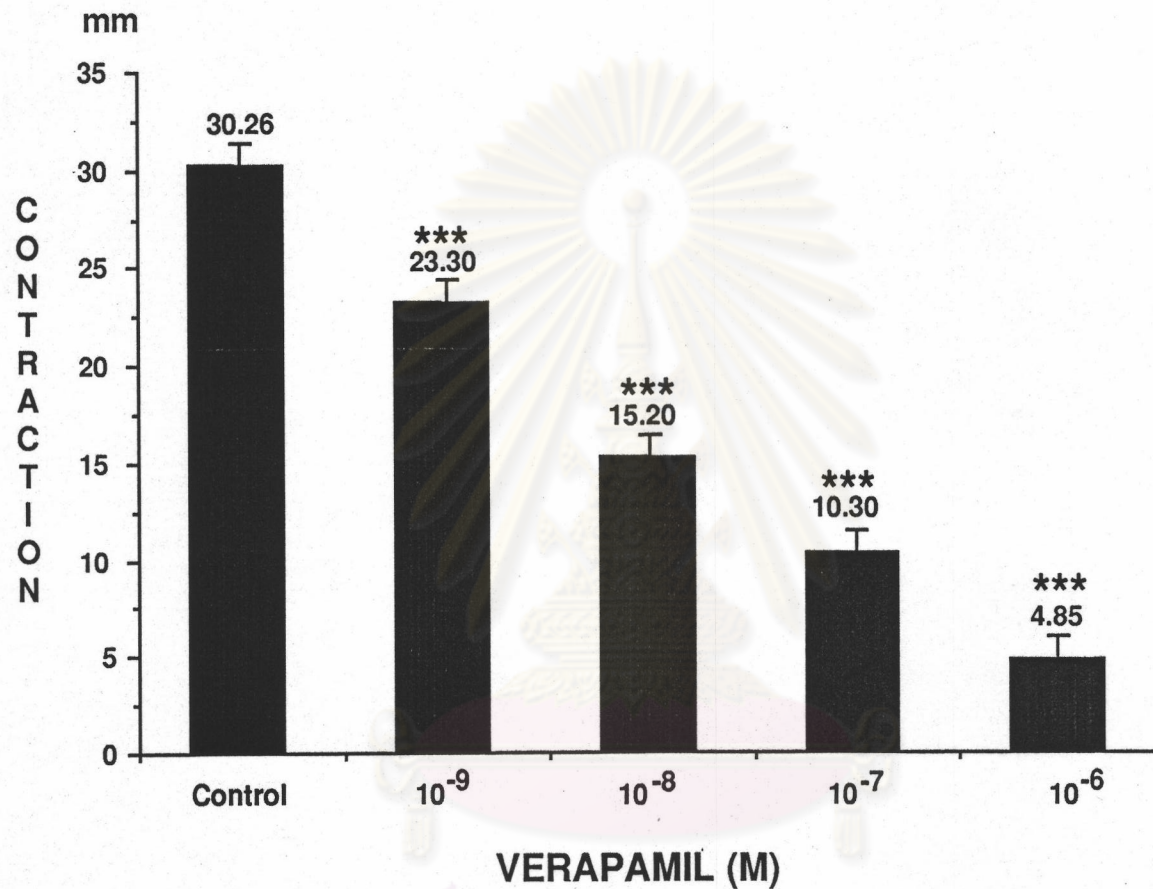
รูปที่ 30 แสดงผลการหดตัวของมดลูกหนูแรทโดย verapamil

ความเข้มข้น 10^{-9} และ 10^{-8} M ปริมาณ 0.2 ml

paper speed 10 mm/min

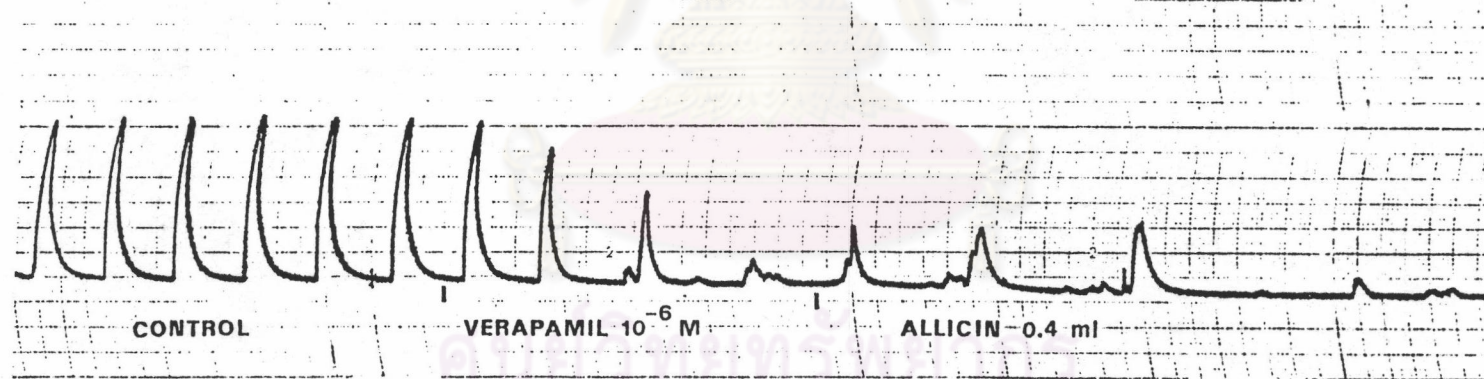
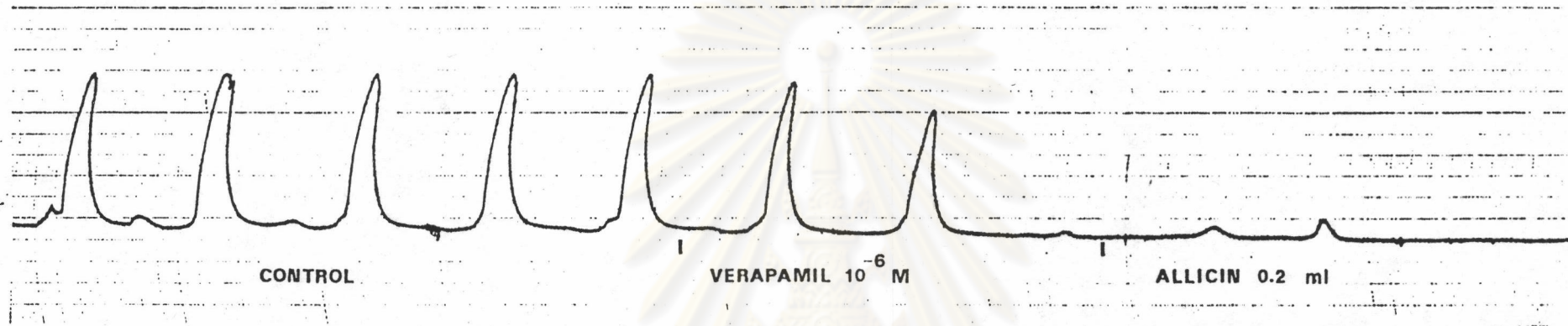


รูปที่ 31 แสดงผลการทดสอบของมดลูกหนูแรทโดย verapamil
 ความเข้มข้น 10⁻⁷ และ 10⁻⁶ M ปริมาณ 0.2 ml
 paper speed 10 mm/min

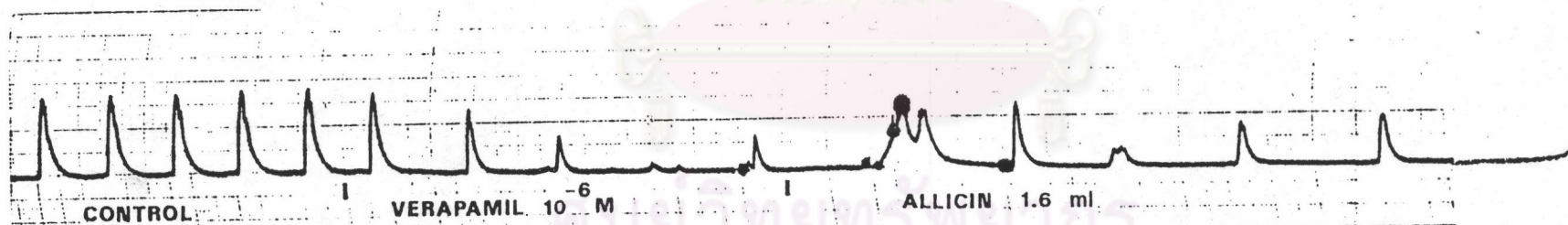
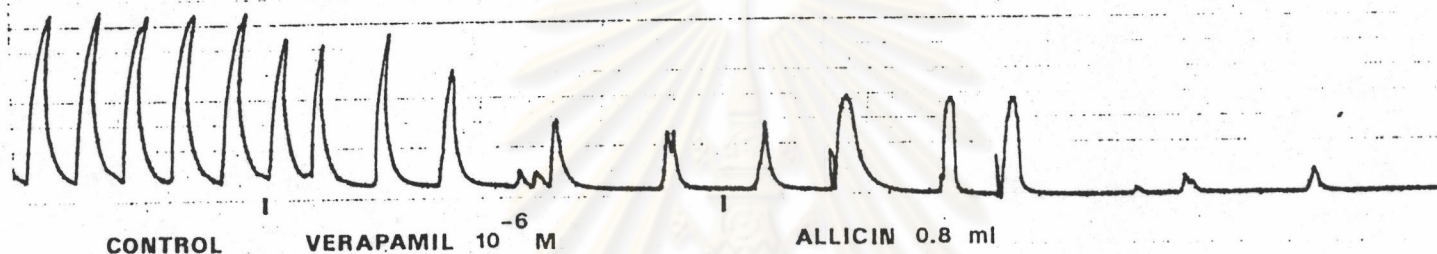


รูปที่ 32 แสดงผลการหดตัวของมดลูกหนูแรทโดย verapamil ความเข้มข้น 10^{-9} - 10^{-6} M ปริมาณ 0.2 ml แสดงในรูปของ mean \pm SEM

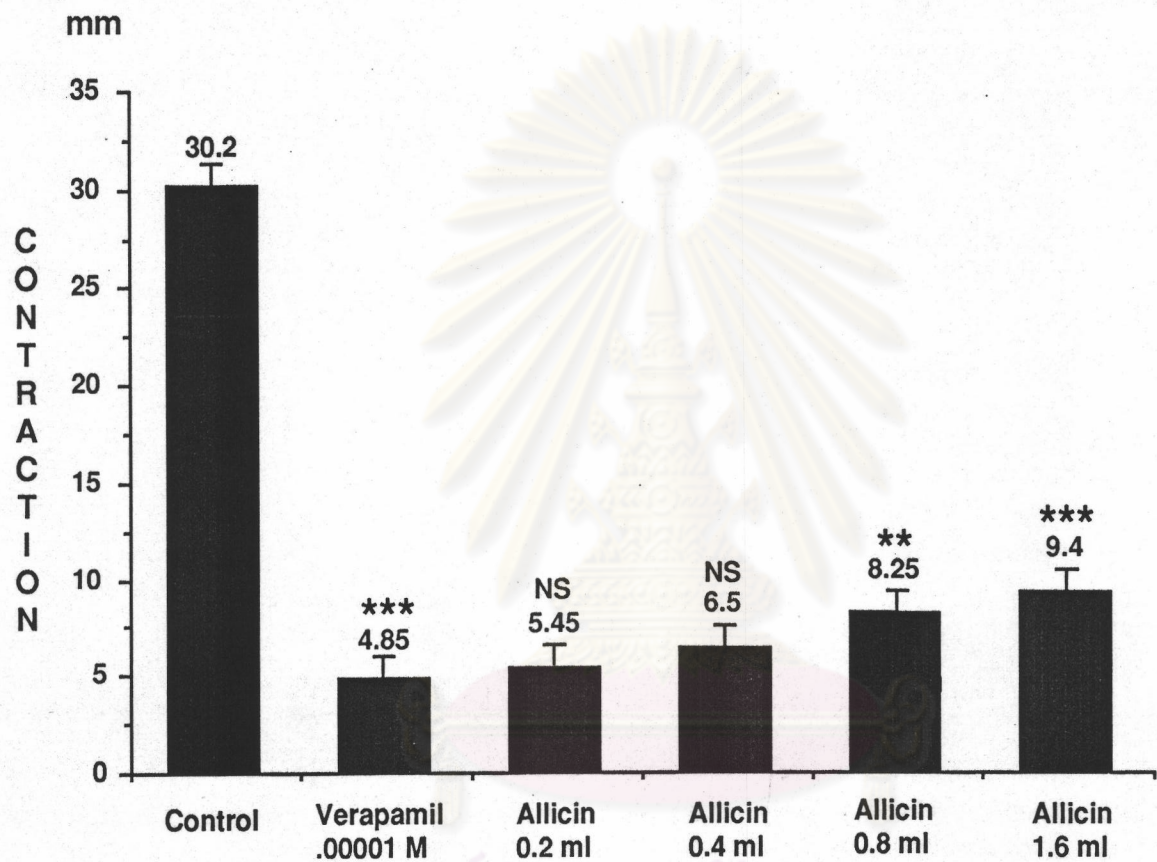
*** $P < 0.01$



รูปที่ 33 แสดงผลของสารสกัดอัลลิซิน ความเข้มข้น 3.5 mg/ml ปริมาณ 0.2 และ 0.4 ml ต่อการหดตัวของมดลูกหนูแรท หลังจากให้ verapamil ความเข้มข้น 10⁻⁶ M ปริมาณ 0.2 ml
paper speed 10 mm/min



รูปที่ 34 แสดงผลของสารสกัดอัลลิซิน ความเข้มข้น 3.5 mg/ml ปริมาณ 0.8 และ 1.6 ml ต่อการหดตัวของมดลูกหนูแรท หลังจากให้ verapamil ความเข้มข้น 10^{-6} M ปริมาณ 0.2 ml
paper speed 10 mm/min



รูปที่ 35 แสดงผลของสารสกัดอัลลิซิน ความเข้มข้น 3.5 mg/ml ปริมาณ 0.2 - 1.6 ml ต่อการหดตัวของมดลูกหนูแรท หลังจากให้ verapamil ความเข้มข้น 10^{-6} M ปริมาณ 0.2 ml แสดงในรูปของ mean \pm SEM

** $P < 0.025$, *** $P < 0.01$, NS : non-significant